

UDC 669.018.85 : 620.193.53 : 669.85/.86

技術資料

耐熱合金の高温酸化における希土類元素の役割*

斎 藤 安 俊**

The Role of Rare Earth Elements on the High-Temperature Oxidation of Heat-Resisting Alloys

Yasutoshi SAITO

1. 緒 言

近年、各種ボイラー、ガスタービン、エンジンなどの熱機関や化学工業装置、さらには原子炉などの稼動温度は、効率向上の点から次第に上昇し、これらの高温装置、機器類に使用される耐熱合金の耐用温度と時間の増大に対する要求は著しいものがある。耐熱合金全般に関しては多くの著書、解説、資料などが発表されているが、田中¹⁾は基本となる合金系別に耐熱合金を分類し、主要特性を示すとともに、ガスタービン、ジェットエンジン、および高温ガス原子炉に用いられる耐熱合金について、発展の経過、現状、将来の動向などを解説している。そのほか、田中はとくにNi基耐熱合金を取り上げ、高温強度、耐食性、合金設計と製造方法、合金元素の役割などについて、同様の解説を行ない²⁾、さらに、最近における耐熱合金の現況、ならびに我が国での合金開発についての話題を紹介している³⁾。また、西⁴⁾もガスタービン、ジェットエンジンの動向、各部の使用条件と材料に要求される性能などを示した後、現用耐熱合金の発展の経過を材料の特性ごとに説明し、さらに、耐用温度を高め、長寿命を達成する可能性について言及している。

それらによると、出力、推力および熱効率の増大から、発電用ガスタービンではタービン入口ガス温度で1000°～1100°C、ジェットエンジンでは1380°Cと運転温度が上昇しつつある。また、化学工業の分野では、高温反応装置に用いられる金属材料の表面温度は1050°～1060°Cに達する場合もあるといわれ、生産性向上の点からは、さらに高温化が望まれている。そのほか、わが国で開発が進められている高温ガス冷却原子炉では、出口ガス温度は1000°Cを目標としている。加えて、公害防止の点から自動車排気ガス浄化装置として用いられるサーマルリアクターでは、排気が直接触れるインナーコアなどが、常時900°～1100°Cの高温に長時間さらされる^{5)～7)}

このように、耐熱合金の用途は多方面にわたるとともに、より高温度での使用が望まれ、当然のことながら、高温における機械的強度、耐熱疲労性などとともに、耐食性が要求されている。耐熱合金として重要なこれらの性質は、大別して、第1に等温下、そして第2に熱サイクル下という二つの使用環境で十分満足されなければならない。すなわち、前出の各種熱機関や高温装置は、高温で長時間使用することが多いから、温度上昇とともに指数関数的に速度が増加するクリープ、腐食反応などに十分耐えるものであることがまず必要である。ついで、急激な始動・停止にともなう温度急変、長期間の繰り返えし加熱・冷却という過酷な条件下でも使用できるものでなければならない。

耐熱合金や鉄鋼に希土類元素を添加すると、それらの諸性質が種々影響を受け、とくに多くの改善効果が現われることが報告されているが^{8)～10)}、高温酸化性ガス雰囲気における耐食性、つまり耐酸化性が著しく改善されることも古くから知られている¹¹⁾。すなわち、耐熱合金でも電熱材として使用してきたNi-Cr系およびFe-Ni-Cr系などの合金に、Ceなど希土類元素を添加すると、電熱線の繰り返し加熱による寿命による寿命値の向上が認められる。このような希土類元素添加の効果は、今まで、Fe基、Ni基、Co基、Cr基の種々の耐熱合金について判明しているが、その機構に関しては不明確な点が多い。そこで本稿では、これらについて行なわれた研究の中から主な結果を挙げ、問題点を指摘して、耐熱合金の高温酸化における希土類元素の役割を解明する手がかりを与えたい。

耐熱合金の実用的立場からは、耐酸化性を強度、加工性などその他の諸性質と両立させることが必要であることは言うまでもないが、ここでは耐酸化性にのみ注目し、その他の性質に及ぼす希土類元素添加効果については、一切触れないことにする。また、Feを主成分とする高温

* 昭和53年12月29日受付 (Received Dec. 29, 1978) (依頼技術資料)

** 東京工業大学工業材料研究所 工博 (Research Laboratory of Engineering Materials, Tokyo Institute of Technology, 4259 Nagatsuta-cho, Midori-ku, Yokohama 227.)

用の合金のうち, Fe 分が概して 50% 以上のものを耐熱鋼, 高温特性改善のため Cr, Ni などを多量に添加して, Fe 分がおよそ 50% 以下に減じているものを耐熱合金と, それよりよんではいるが³⁾, 一部例として取り上げる Fe50% 以上の合金もとくに区別することなく, 耐熱合金として取り扱うこととする。さらに, 合金の成分含有量は, とくに付記しない限り, 重量%を示すものとする。

なお, 希土類元素 (rare earth elements) とは, スカンジウム Sc (原子番号 21), イットリウム Y (39), およびランタノイド (lanthanoid, 51~71) のランタン La, セリウム Ce, プラセオジム Pr, ネオジム Nd, プロメチウム Pm, サマリウム Sm, ユーロピウム Eu, ガドリニウム Gd, テルビウム Tb, ジスプロシウム Dy, ホルミウム Ho, エルビウム Er, ツリウム Tm, イッテルビウム Yb, ルテチウム Lu の 17 元素の総称であり, ランタノイドのうち La を除いた 14 元素はランタニド (lanthanides) とよばれることがある¹²⁾。希土類元素金属は一般に化学的に活性で, このことが耐熱合金の諸性質に影響を与える原因の一つになつてると考えられるが, 耐酸化性に対する効果として, 希土類元素以外の活性金属の添加に関する研究も多く報告されている。したがつて, 本稿では, 希土類元素の添加効果を中心に述べるもの, 必要性に応じて, Th, Hf など希土類元素以外の活性金属の役割についても言及することにする。

2. 耐熱合金の耐酸化性

2.1 酸化皮膜の形成と成長

多くの金属および合金は高温酸化性ガス雰囲気では酸化して, 表面に酸化物の皮膜を形成するが, 热力学的には, 雰囲気の酸素分圧が酸化物の解離圧 P_{O_2} (atm) より大きい場合, その酸化物は安定であるといえる。金属Mが酸素と反応して酸化物 MO を生成する反応を



で表わし, 酸化物生成反応の標準自由エネルギー変化を ΔG° (cal) とすれば, R を気体定数, T を絶対温度として, つぎの関係がある。

$$\Delta G^\circ = RT \ln P_{O_2} \quad (2)$$

ΔG° が負に大きいほど, 解離圧は低く, 酸化物は安定になる。これより, ある酸化性雰囲気における金属酸化の可能性, さらには酸化皮膜の構造を推測するのに, $\Delta G^\circ - T$ 間の関係はきわめて重要である。Table 1 には耐熱合金上に生成する主要酸化物, ならびに本稿で論ずる希土類元素酸化物の 1200°C における ΔG° の値^{13)*}を示す。

金属表面に生成する酸化物はただ 1 種のみとは限らず, 雰囲気の酸素分圧と温度に応じて, 2 種以上の酸化

Table 1. Standard free energies of formation of oxides.

Oxide	$-\Delta G^\circ$ (1200°C), kcal/mol O_2
Sc_2O_3	235.6
Y_2O_3	236.2
La_2O_3	219.4
CeO_2	184.9
Er_2O_3	234.3
NiO	147.5
FeO	80.0
Cr_2O_3	117.5
SiO_2	147.6
Al_2O_3	191.6

物を生ずる場合も多く, 金属側から雰囲気側に向かつて, Fe では FeO , Fe_2O_3 を, Co では CoO , Co_3O_4 を Cu では Cu_2O , CuO をそれぞれ生成したりする。合金においては状況はより複雑となり, 耐熱合金として代表的な Ni-Cr 合金を例にとると, Cr 含有量にも依存して, Cr_2O_3 , $NiCr_2O_4$, NiO などと多層を形成する。このように数種の酸化物が層状に発達する場合, 外側, すなわち雰囲気に近い所に生成する酸化物ほど, 解離圧 P_{O_2} が高く, 热力学的に不安定である。

金属表面に一旦酸化物の皮膜を生じた後は, その皮膜が緻密か否かで, 酸化進行の様子が異なつてくる。その目安となるのは, 酸化物の比容積 V_O と金属の比容積 V_M の比 V_O/V_M であるが¹⁵⁾, この比は体積比, また Pilling-Bedworth 比とよばれ, つぎのように表わされる。

$$\frac{V_O}{V_M} = \frac{M/D}{nm/d} = \frac{Md}{nmD} \quad (3)$$

ここで, M は酸化物の分子量, D はその密度, m は密度 d の金属の原子量, そして n は酸化物 1 モルあたりの金属原子数である。もし $V_O/V_M < 1$ ならば, 酸化皮膜は引張応力を受けながら形成されるので, 多孔質で非保護性となる。したがつて, 気相中の酸素分子は孔やき裂の中に入り込んで, 酸化は妨害されることなく, 金属/酸化物界面でほぼ一定速度で進行し, 皮膜の成長は直線則に従う。これに対して, $V_O/V_M > 1$ で, しかも比較的 1 に近い場合には, 酸化皮膜は圧縮応力を受けながら形成され, 一様に緻密で保護的となつて, その後の酸化進行を抑制する方向に作用する。そのため, 酸化速度は時間 t とともに減少し, 一般に, 酸化皮膜の厚さ x は次式の放物線則に従つて増大する。

$$x^2 = k_p t \quad (4)$$

ここで, k_p は放物線速度定数とよばれる定数である。

耐熱合金の多くは, Table 1 に示したように, 主要構成成分や添加成分元素の酸化物生成の ΔG° がかなり負に大きく, それらの酸化物皮膜は熱力学的に安定な状態で形成される。また, 主要酸化物層の下部に, 内部酸化物を生成しやすい。さらに, それらの金属-酸化物系で

* 希土類元素酸化物についての最近のデータは文献¹⁴⁾ 参照のこと。

は $V_o/V_M > 1$ であるので、耐熱合金の表面は緻密な酸化皮膜によつて一様に覆われ、ほぼ放物線則に従うのが普通で、酸化皮膜中の拡散が律速段階になると考えられる。すなわち、合金素地と酸素雰囲気との直接の接触は酸化物層により遮断されているので、皮膜の成長には、酸化反応にあずかる物質の少なくとも一方が酸化物中を拡散し、相手の反応物質と出会うことが必要である。

このような場合、酸化物中の物質移動は、中性原子や分子の形としてではなく、イオンや電子という荷電粒子の形で行なわれる。すなわち、酸化皮膜中を金属イオンが合金側より酸化物/酸素界面への外向拡散を、あるいは酸素イオンが酸素側より合金/酸化物界面への内向拡散を、いずれもイオン空孔か格子間のイオンといった点欠陥を媒介として行ない、同時に、電子は伝導電子か電子ホール(正孔ともいう)の形で移動する。例えNiの酸化では、表面に生成する酸化物 NiO は金属不足型のP型半導体であり、 Ni^{2+} イオンと電子とが Ni^{2+} イオン空孔を媒介として酸化物/酸素界面へと移動することにより、NiO 皮膜の成長が行なわれる。また、Feを空気中で酸化すると、約 570°C 以上では、 $\text{FeO}/\text{Fe}_3\text{O}_4/\text{Fe}_2\text{O}_3$ の3層を形成するが、各酸化物層の成長によるFe酸化の機構¹⁶⁾をまとめてFig. 1に示す。以上のような荷重粒子の移動による酸化皮膜の成長機構については、WAGNER¹⁷⁾以降、多くの研究が行なわれ、著書、解説^{18)~26)}などにより説明されている。

Ni 上の NiO や Fe 上の FeO のように、酸化によつて金属不足のP型酸化物を生ずる場合には、酸化皮膜中の金属イオンの外向拡散が支配的であるので、媒介となる空孔は逆に内方へと移動する。空孔は転位や粒界で消滅し得るが、濃度が過剰になると、合金/酸化物界面で凝集してボイド(void)を形成する。その結果、同一組成の酸化物であつても、皮膜が緻密な外層と多孔質な内層とに分かれたりする。また、内層の気孔中を酸素分子が移動し得るので、Ni や Fe に Cr, Si など母体金属よりも酸素との親和力が大きい元素を合金させた場合には、低解離圧をもつそれらの元素の酸化物がより内側に生じて、内部酸化層を形成したりする^{27)~29)}。Ni-Cr 系合金を例に、これらの有様を Fig. 2 に示す。酸素が合

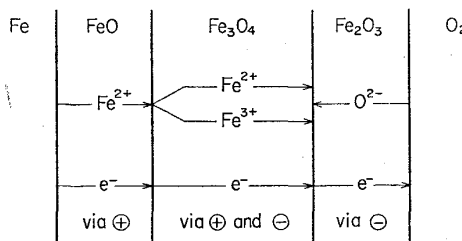


Fig. 1. Schematic representation of reaction mechanism for the oxidation of iron [After HAUFFE].

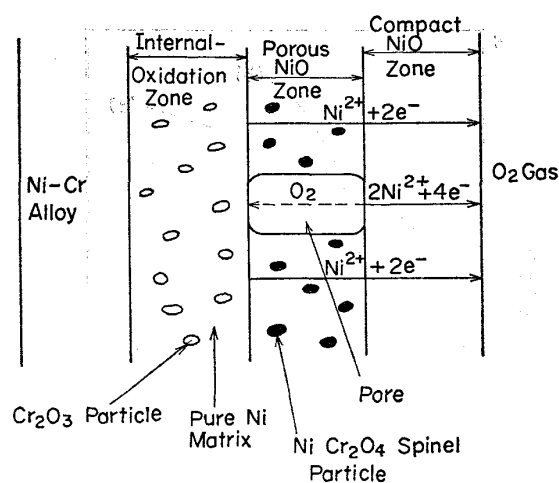


Fig. 2. Schematic representation of the mechanism for the oxidation of Ni-Cr alloys containing <~10%Cr [After BIRKS and RICKERT].

金内部に拡散していき、合金元素の酸化物が合金表面より内側(合金側)に析出する現象が内部酸化であり、一般に母体金属よりも卑な金属が酸化物を形成している²⁶⁾。しかしながら、後に述べる希土類元素添加の場合にもしばしばみられるように、母体金属との複酸化物が内部酸化物として形成されるとする例もあるので、今後、それをも含めて内部酸化物として取り扱かうことがある。内部酸化については、WAGNER³⁰⁾, RAPP³¹⁾, SMELTZER および WHITTLE³²⁾などによる理論的解析があり、また、西田および成田³³⁾、ならびに WALLWORK³⁴⁾は内部酸化を含む複雑な合金の酸化機構について解説を行なっている。

2.2 酸化速度の制御

金属の高温における酸化速度は、熱天秤などを用いて、金属単位表面積あたりの重量増加量により測定されることが多いが、表面酸化物皮膜が緻密で、均一組成をもつならば、その厚さは重量増加に比例することになる。これに対して、耐熱合金の高温酸化においては、しばしば2種以上の酸化物層が形成され、重量増加の内容は必ずしも単純ではない。しかしながら、多くの場合、全酸化反応に支配的な拡散過程は特定の酸化物層に限られるので、Fig. 3 (a) のような放物線的酸化增量曲線を示す。したがつて、耐酸化性を向上するには、まず第1に、酸化速度、すなわち酸化增量ができるだけ小さくすることが必要である。

前節で述べたように、緻密な酸化皮膜の成長は、酸化物中の格子欠陥を媒介とした荷電粒子の移動によつて行なわれる所以、金属の放物線酸化速度はその格子欠陥の濃度と移動度に支配される。そこで、金属に合金元素を添加して、酸化皮膜中の格子欠陥の濃度や移動度を制御して、酸化速度を低減することが考えられる。例えNiにLiを微量添加すると、NiOを主体とする表面酸

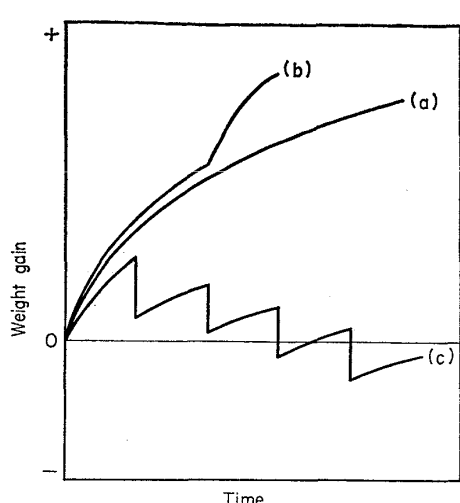


Fig. 3. Weight gain-time relationships for the oxidation of high-temperature alloys.

化物格子中では、 Ni^{2+} イオンの一部が 1 値の Li^+ イオンで置換され、電気的中性条件から電子ホール濃度は増加するが、陽イオン空孔濃度は減少する。したがって、格子欠陥の移動度が濃度によって変わらないと仮定すれば、陽イオン空孔の移動による Ni の酸化速度は減少することになる。これに対して、Ni に Cr を微量添加すると、Cr は 3 値の Cr^{3+} イオンとして酸化物中に入るので、陽イオン空孔濃度は増加し、酸化速度は増大する。このような異種原子価元素添加の効果は、原子価制御の原理(principle of valence control)によるものであり、実験的にも幾つかの例で確かめられているが^{35)~37)}、著名な研究者の名にちなんで、Wagner-Hauffe の理論ともよばれている。酸化物中の格子欠陥の移動度に対する効果としては、同種原子価元素添加の例で、ジルカロイ(zirc-aloy)などの Zr 合金^{38)~41)}が挙げられているが、そのほかにはあまり明確な例がない。一般に合金では、2種以上の酸化物層を形成することが多いが、支配的酸化物中の格子欠陥濃度と移動度を微量添加元素により制御して、その中の拡散速度をできるだけ低減させ、酸化速度を小さくすることは理論的には可能である。

そのほか、酸化速度を減少させるためには、合金中の拡散速度を制御して、保護性酸化皮膜の形成を促進したり、あるいは拡散障壁層を形成させて、イオンの拡散速度が大きい酸化物の生成や成長を抑制することも考えられる。

2・3 酸化皮膜の密着性

2・3・1 酸化皮膜の剥離

以上のようにして耐熱合金上により緻密な酸化皮膜が形成され、その成長速度が低減されたとしても、酸化時間の経過とともに、皮膜中に発生した応力が酸化物の破断応力を超え、皮膜が割れたり、剥離したりする場合がある。このようなことが起こると、雰囲気酸素が合金表

面に直接触れることになるので、それまで放物線状であった酸化增量曲線に急激な変化が現われ、Fig. 3(b)のように、酸化が急速に進行するようになる。このような急変現象を“breakaway”とよんでいる。酸化皮膜の割れや剥離は、加熱と冷却の繰り返し、急熱・急冷など、過酷な条件下ではとくに起こりやすく、Fig. 3(c)のように、加熱により酸化增量を示した後、酸化温度から冷却する際に皮膜が剥離して、急激に重量が減少することが多い。このとき、合金は新しい表面を露出するから、つぎの加熱では再びかなりの酸化增量を示し、繰り返し数を増すごとに、全体としては次第に負の增量、すなわち重量減少となつて現われる。

酸化皮膜の剥離現象は、(i) 等温酸化過程中に起るもの、および(ii) 非等温過程、すなわち加熱・冷却中に起こるもの 2 種に大別されるが、いずれも皮膜中の応力に起因する破壊によるものである。このうち、(i) はもちろん無視できるものではないが、成長しつつある皮膜の中に応力が発生しても、耐熱合金の場合は $V_O/V_M > 1$ で圧縮応力であるとともに、高温ではかなり容易に塑性変形して、応力を緩和することができるのではないかとも考えられる。また、新居⁴²⁾も述べているように、酸化皮膜が割れ、剥離を起こしても、その部分に直ちに保護性酸化皮膜が再生されれば、その合金は耐酸化性でありうるが、耐熱合金ではこの再生能を考慮に入れて組成がきめられている面もある。これに対して、(ii) はとくに高温で酸化後の冷却に際しての熱収縮が原因で、酸化物と合金の熱膨張係数の違いから生ずる応力、すなわち熱応力によつて起こるものである。

いま、板状合金の両面が一様な酸化皮膜で覆われているとすると、このような熱膨張係数が異なる対に、温度差 ΔT を与えたときに酸化物中に発生する応力 σ_0 は

$$\sigma_0 = \frac{E_0 \Delta T (\alpha_0 - \alpha_M)}{1 + 2(E_0/E_M)(t_0/t_M)} \quad \dots \dots \dots \quad (5)$$

で与えられる⁴³⁾。 α は酸化温度と冷却温度の差 ΔT 間の平均熱膨張係数、 E は弾性係数、そして t は厚さであるが、添字の O および M はそれぞれ皮膜と合金を表わす。耐熱合金では、前節のように酸化增量をできるだけ少なくしているので、 $t_0 \ll t_M$ と考えると

$$\sigma_0 = E_0 \Delta T (\alpha_0 - \alpha_M) \quad \dots \dots \dots \quad (6)$$

と簡単になり、温度差と熱膨張係数の差とが重要となる。DEADMORE および LOWELL⁴⁴⁾ は Table 2 に示すような熱膨張データを用い、 $\Delta T = 1175^\circ\text{C}$ として、幾つかの Ni 基耐熱合金について応力分布を評価し、Fig. 4 に示すような模式図を得ている。このようにして酸化中の温度と試料が冷却されたときの温度差 ΔT により発生した熱応力は、 ΔT の増大とともに増加し、破断強度を起えると、ついには酸化物が破壊、すなわち剥離するに至る。

耐熱合金の酸化において、冷却後、外層酸化物が剥離

Table 2. Coefficients of thermal expansion (CTE)
[After DEADMORE and LOWELL].

Phase	Temperature range, °C	Mean CTE × 10 ⁻⁶
γ -Ni solid solution	25-1 200	18.6
γ' -Ni ₃ Al	25-1 200	18.6
β -NiAl	25-1 200	19.5
α -Fe solid solution	25-1 200	15.8
TD-NiCrAl	25-1 200	19.3
Al ₂ O ₃	25-1 200	8.1
Cr ₂ O ₃	25-1 200	8.7
NiAl ₂ O ₄	25-1 200	10
NiCr ₂ O ₄	25-1 200	10
NiO	25-1 000	17.1

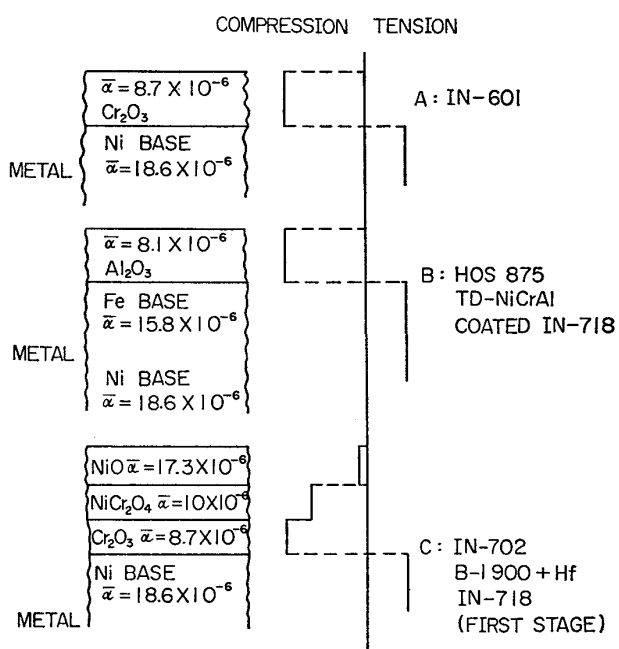


Fig. 4. Distribution of stresses after cooling from oxidizing temperature [After DEADMORE and LOWELL].

した試料表面を観察すると、しばしば合金/酸化物界面に多数のボイドが見られる。ボイドが存在すると、合金/酸化物界面の接合面積を減少させ、また、冷却過程で発生した熱応力がその部分に集中して、酸化皮膜に割れを発生するので、比較的小さな応力でも剥離する原因となる。一方、KUMAR ら⁴⁵⁾が指摘しているように、熱応力の幾らかは合金の塑性変形や酸化物中の欠陥の存在によつて解放され、また、冷却中の剥離は酸化温度よりも低い温度で始まるので、温度差 ΔT はさきに採用したような値の半分位に小さくなり得る。したがつて、(5)または(6)式の計算により、酸化皮膜を破壊するに十分なだけの熱応力がその中に発生するとしても、冷却中に必ずしも剥離が起こるとは限らない。

金属および合金の高温酸化に際して、酸化皮膜中に発生する応力や皮膜の破壊に関連して、酸化物の高温における機械的性質が重要であるが⁴⁶⁾⁴⁷⁾、それについて、

近年、本間⁴⁸⁾⁴⁹⁾が詳しく解説している。

2.3.2 酸化皮膜の密着性向上

耐熱合金にとって酸化皮膜の剥離は致命的であるので、耐酸化性を向上するためには、第1の酸化速度の低減に加えて、皮膜の密着性を良好にすることが、第2の必要条件として挙げられる。TYLECOTE⁵⁰⁾も指摘しているように、酸化皮膜の密着性は、体積比 (V_O/V_M)、表面粗さ、皮膜の厚さ、優先する拡散機構、熱膨張係数、酸化物の高温塑性変形能、合金/酸化物界面の形態、純度、雰囲気などによつて支配されるが、これらの諸因子はそれぞれ単独で効果を発揮するとは限らず、むしろ相互に関連し合つて影響するので複雑である^{51)~53)}。

酸化後の金属上皮膜断面を顕微鏡で観察すると、金属/酸化物界面の性状には著しい差があり、ある場合には、皮膜がかなり厚くなつても、界面は平滑のままであるのに対して、また別の場合には、平滑さを欠き、金属の粒界に侵入しする傾向が強い。このようなことは皮膜の密着性にも影響しており、酸化皮膜の成長が金属イオンの外向拡散により、酸化物/酸素界面で進行する場合には、皮膜と金属素地との接触が失なわれる可能性が大きい。一方、酸素イオンの内向拡散により、金属/酸化物界面で皮膜の成長が行なわれる場合には、皮膜の密着性は良好であり、とくに活性元素を含む耐熱合金では、内部酸化が著しく、より凹凸の多い合金/酸化物界面が形成されて、後述する keying-on effect により密着性が保持されることが多い。また、金属イオンの外向拡散により成長する酸化皮膜中では、前項で述べたように、皮膜剥離の一因となるボイドが金属/酸化物界面に形成されるが、皮膜の成長は陽イオンの外向拡散のみによるとは限らず、同時に酸素イオンの内向拡散も起こり得ると思われる。イオン性固体中の粒界は陰イオンに対しては短回路になるといわれており⁵⁴⁾、酸素イオンの大きさなどを考慮に入れると、酸素拡散に対しては酸化物粒界の寄与が大きいことが期待される。例えば、CZERSKI および FRANIK⁵⁵⁾によると、99.8% 純度の Ni の 1300°C における酸化では、酸化皮膜は主に粒界を通る酸素の内部侵入により成長し、Ni イオンの外向拡散による成長は、皮膜厚さの 30% のみであるという。高温酸化が進行しているとき、酸化皮膜の厚さが増すとともに、皮膜中に発生する応力が増大し、密着性は減少すると考えられるが、一方、金属イオンの外向拡散の場合は、ボイド形成により、金属/酸化物界面における応力は次第に減少し、これは酸素の内向拡散によつて相殺されることになる。

以上のように、合金/酸化物界面の形態、ボイド形成など、耐熱合金上の酸化皮膜の密着性を支配する因子の一部を取り上げてみても、酸化皮膜中の拡散過程と係わり合うことがわかる。したがつて、耐熱合金の耐酸化性向上が、基本的には、(i)酸化速度、および(ii)酸化皮膜の密着性の両面から達成されるとして、両者、さらに

それらに含まれる諸因子は、いずれも切り離して取り扱うことはできないものと思われる。しかしながら、以下、耐熱合金の耐酸化性における希土類元素の役割について、便宜上、(i)および(ii)の2点に注目して検討を加えることにする。

3. 希土類元素添加による酸化速度の低減

3.1 酸化物中の拡散速度に及ぼす効果

3.1.1 Cr₂O₃皮膜形成合金

NiにCrを添加すると、前章で述べた原子価制御の原理により、酸化速度は次第に増大するが、Cr量がこの効果の限界量以上になると、酸化速度は逆に低下する。耐熱合金として代表的なNi-Cr合金では、Crをより多量に加え、表面酸化物としてNiOのほかに、スピネル型のNiCr₂O₄さらにはCr₂O₃を生成させる。Fe-Cr合金でも同様で、表面に生成する酸化物層は、Fig. 5に示すように、Cr含有量によってその構造を異にする⁵⁶⁾。すなわち、Cr量の増加とともに、FeO層の下にスピネル型の複酸化物 FeCr₂O₄ [=FeO·Cr₂O₃] または FeO·(Cr, Fe)₂O₃] が生成し、FeO層は薄くなつて、ついには消失する。さらにCr量が増加すると、FeCr₂O₄層は薄くなつて下にCr₂O₃層のみとなつて、酸化速度は極めて小さい。このようにして、多量のCrの添加は、その中の陽イオンの拡散速度が大きいNiO層の形成を抑制するとともに、より緻密な構造を有し、イオンの拡散速度が小さいスピネル型のNiCr₂O₄やFeCr₂O₄さらにはCr₂O₃を生成させて、酸化速度を低下させる。したがつて、耐酸化性の点からは、均一なスピネル型複酸化物またはCr₂O₃とくに後者の保護性皮膜を形成させること

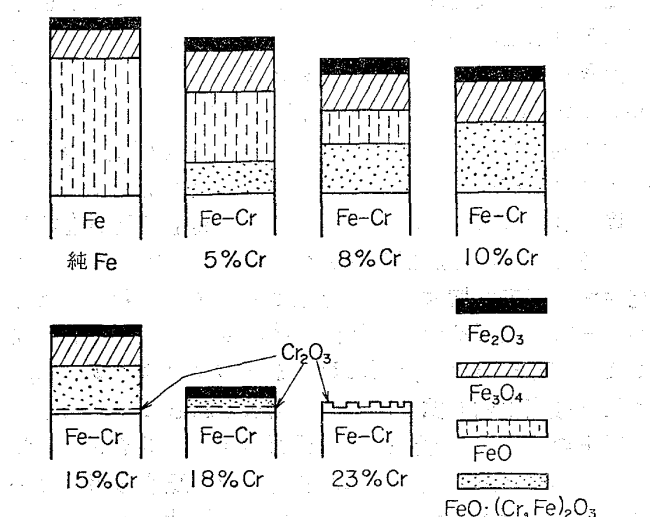


Fig. 5. Schematic representation of the scale structure formed on various Fe-Cr alloys at 1200°C in air [After MISHIMA and SUGIYAMA].

が必要である。

Ni-Cr合金の酸化初期の段階ではNiOとCr₂O₃が同時に生成するが^{57)~59)}、GIGGINSら⁶⁰⁾によると5~30%Cr合金では外層酸化物として結晶粒界にCr₂O₃を、また粒界から離れたところに、外層酸化物としてのNiOと内部酸化物としてのCr₂O₃を生成する。このような状態で、CrはCr₂O₃の外層酸化物で覆われた領域、つまり粒界からCr₂O₃が内部酸化物として存在する領域へと、合金中を横方向に拡散し、やがて連続的なCr₂O₃層を形成して、このCr₂O₃層が合金の酸化速度を支配するようになるという。いま、主要酸化物としてCr₂O₃層を形成する場合のNi-Cr合金酸化の活性化エネルギーをみると、例えば、著者ら⁶¹⁾の0~0.41%Ceを含むNi-20Cr合金では49~60kcal/mol、RHEEおよびSPENCER⁶²⁾のNi-(Fe)-Cr系超合金では56.1~63.1kcal/molなどである。そして、これらの値は、表面酸化物としてCr₂O₃のみを生ずるCr酸化の活性化エネルギー59.4kcal/mol⁶³⁾、およびCr₂O₃中のCrイオンの自己拡散の活性化エネルギー61.1kcal/mol⁶⁴⁾によく対応している。さらに、SEYBOLT⁶⁵⁾はFe-20CrおよびFe-30Cr合金の酸化においてPtマーカー実験を行ない、1000°および1300°Cでは、表面酸化物Cr₂O₃の成長は、Cr³⁺イオンがその中を酸化物/酸素界面へと移動することによることを示している。このようにして、Cr₂O₃を主要な外層酸化物とするこれらの合金では、Cr₂O₃中のCrイオンの外向拡散により、酸化が進行するという考えが有力となる。

Cr₂O₃はNiOと同じp型半導体である⁶⁶⁾が、希土類元素が固溶するすれば、主に3価の陽イオン、あるいは一部の元素では4価の陽イオンの形で導入される筈である。電気的中性条件を考えると、3価の場合はCr₂O₃中の陽イオン空孔濃度には変化がないが、4価の場合はそれが増加することになる。著者ら⁶¹⁾はNi-20Cr合金の1100°~1260°Cにおける空気中初期酸化速度は、約0.05%Ceの添加によりいくぶん増大することを認め、また、中山および富士川⁶⁷⁾はFe酸化に対するCe添加の影響を調べてFig. 6の結果を得て、0.008%Ce添加

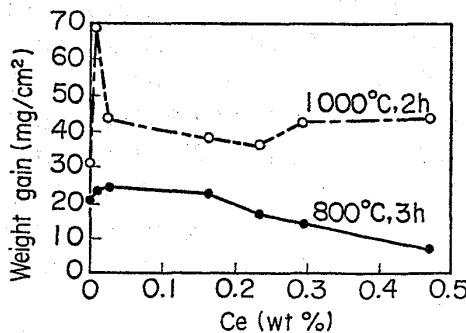


Fig. 6. Weight gain diagram of Fe-Ce alloys oxidized in air at 800°C for 3h and 1000°C for 2h [After NAKAYAMA and FUJIKAWA].

では酸化速度が急激に増加することに注目した。とくに大気圧程度の酸素圧下では、Ce が 4 値のイオンとなり得ることから、空孔の移動度の変化を無視すれば、いずれも原子価制御の原理による効果も考えられるとされている。一方、希土類元素の大部分は 3 値のイオンになるので、その場合は、空孔濃度、したがって、酸化速度には変化がないことになる。FELTEN⁶⁸⁾ は Fe-25Cr および Fe-37.5Cr 合金に 3 値の Y, La, Gd, Dy および Er を微量(~2%) 添加し、700°~1200°C, 100Torr の酸素中で酸化させたところ、すべての合金で放物線則に従つたが、添加元素の有無と種類により、酸化速度に大きな違いは認められなかつた。

このように原子価制御の原理に基づくと、希土類元素の添加は酸化速度の低減には役立たないことになるが、耐熱合金の耐酸化性が希土類元素など活性金属の添加により改善されることを古くから知られている。例えば、HESSENBRUCH¹¹⁾ によると、電熱線用 Ni-Cr 合金への Ca, Ce, Th などの微量添加は寿命値改善に極めて効果的であり、とくに Ce の効果は顕著で、0.2% の添加により、1050°C における寿命は約 65 h から 10 倍の 650 h に延びたといふ。この効果は、後述する酸化皮膜の密着性向上によりもたらされる割合が多いものとも考えられるが、HESSENBRUCH¹¹⁾ は上記の有効元素はいずれもイオン半径が大きく、酸化物のイオン空孔を塞いで、金属イオンの表面への拡散を妨げるとして説明している⁶⁹⁾。

この考えは Cr₂O₃ 中の Cr イオンの外向拡散についての原子価制御の原理では説明できないが、恐らく、格子欠陥の移動度を考慮に入れたものではないかと推察される。FRANCIS および WHITLOW⁷⁰⁾ は Fe-25Cr 合金に 1% Y を添加したが、1000°C, CO₂ 中では内部酸化が起こり、合金/酸化物界面で生成した Y₂O₃ 相が表面酸化物の密着性を改善するとともに、Y の一部は成長中の Cr₂O₃ 皮膜に優先的に導入され、その結果、Cr³⁺ イオンの拡散速度、したがつて酸化速度を減少させるとしている。著者ら⁶¹⁾ の Ni-20Cr 合金に関する結果では、約 0.05% Ce の添加により、酸化速度は前述のようにやや増加するが、さらに添加量を増すと、酸化速度は逆に減少するようになる。各合金の放物線酸化速度定数の温度依存性を Fig. 7 に、また合金組成を Table 3 中に示す。この酸化速度の変化については、高 Ce 合金では、恐らく Cr₂O₃ 中の空孔移動度が Ce の影響を多少受けているというのも、一つの解釈であるとされている。

Cr₂O₃ 中の拡散機構への希土類元素添加の効果は、原子価制御の原理に基づくイオン空孔濃度制御においては顕著でないことから、以上のように、イオン寸法効果を含めて、空孔移動度の点から検討する必要があるものと思われる。しかしながら、Cr₂O₃ 中の Cr イオンの自己拡散数は、Cr₂O₃ に 2% CeO₂ または 1% Y₂O₃ を添加しても、ほとんど変わらないという報告もあり⁶⁴⁾、今後、

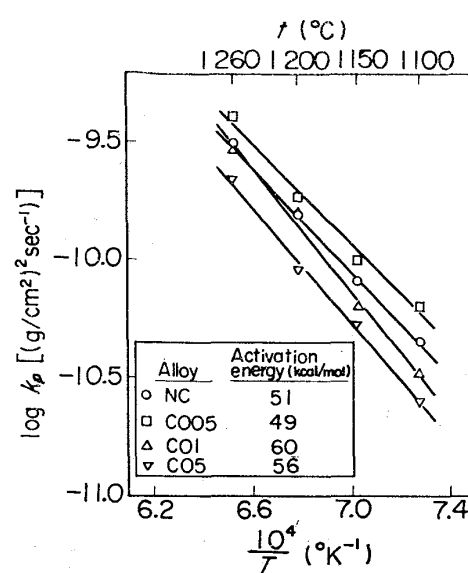


Fig. 7. Temperature dependence of parabolic rate constants for Ni-20Cr alloy and Ce-containing Ni-20Cr alloys [After AMANO, et al.].

Table 3. Chemical composition of alloys
[After AMANO, et al.].

Alloy designation	Nominal composition (wt%)				Analysed composition (wt%)			
	Ni	Cr	Si	Ce	Ni	Cr	Si	Ce
NC	Bal.	20	—	—	Bal.	19.8	—	—
C 005	〃	20	—	0.05	〃	19.9	—	0.04
C 01	〃	20	—	0.1	〃	21.6	—	0.06
C 05	〃	20	—	0.5	〃	21.5	—	0.41
S	〃	20	1	—	〃	19.60	0.98	—
SC 005	〃	20	1	0.05	〃	19.60	0.96	0.008
SC 01	〃	20	1	0.1	〃	19.60	0.97	0.02
SC 05	〃	20	1	0.5	〃	19.40	0.99	0.34

多くの基礎的実験データの集積が望まれる。

3.1.2 Al₂O₃ 皮膜形成合金

Ni-Cr 系や Fe-Cr 系耐熱合金の高温耐酸化性の点からは、保護性のある Cr₂O₃ をとくに最外層酸化物として形成させることが望ましく、このことは、Cr を 20 数 % 以上含有させたり、あるいは後に述べるように、希土類元素などを添加したりすることにより達成される。しかしながら約 1000°C 以上の高温では、Cr₂O₃ は酸化されて CrO₃ を生じ、これは蒸発しやすいので^{71)~76)}、耐酸化性は十分とはいえない。一方、これらの合金に数 % 以上の Al を添加すると、Cr よりも酸素との親和力が大きい Al は選択酸化を受け、表面酸化物は主に Al₂O₃ となる。Al₂O₃ は Cr₂O₃ よりも保護性が大きく、酸化速度の低減に著しく寄与するとともに、蒸発の問題も伴わないので、酸化によつて Al₂O₃ 皮膜のみを形成する耐熱合金はより好ましいことになる。Al は少量添加では内部酸化物として存在するが、添加量を増すと、Cr と

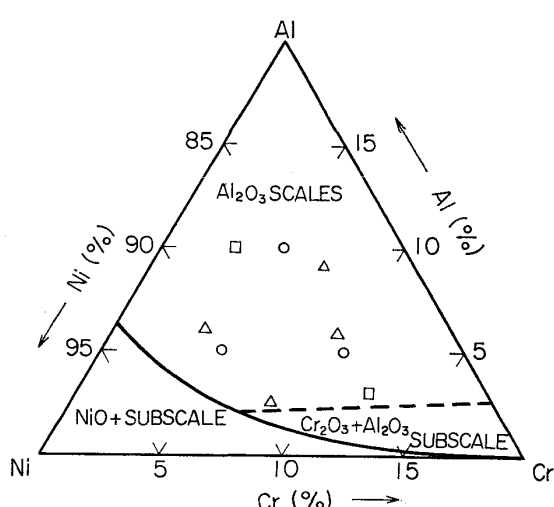


Fig. 8. Oxide map for the ternary system Ni-Cr-Al at 1200°C [After KUMAR, et al.]

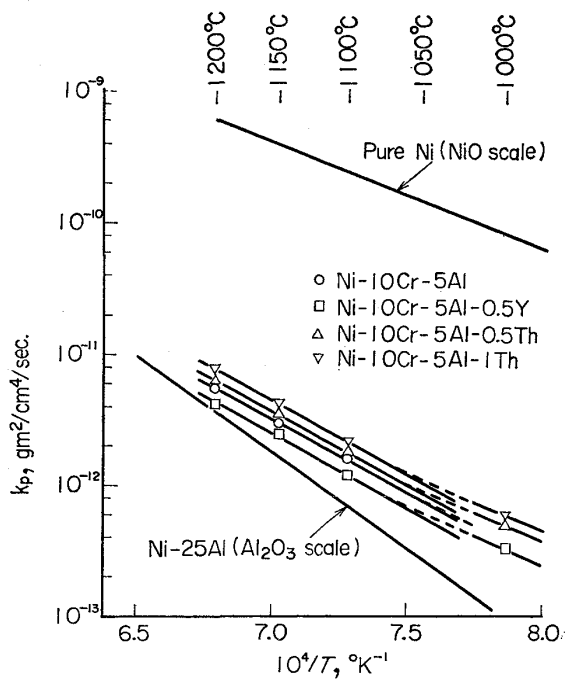


Fig. 9. Arrhenius plots for various alloys showing temperature dependence [After KUMAR, et al.]

Al の割合によつては、均一な Al_2O_3 皮膜を形成する。そこで、Ni-Cr-Al 系、Fe-Cr-Al 系などの合金の 3 元組成図上に、生成する酸化物層の組織を表わした“oxide map”を実験的に作成すると便利である。Fig. 8 は KUMAR ら⁴⁵⁾が KVERNES および KOFSTAD⁷⁷⁾のデータも含めて、1200°C で Ni-Cr-Al 合金について求めた oxide map である。

表面酸化物として Al_2O_3 を生成する耐熱合金の場合、マーカー実験によると、酸化後マーカーは $\alpha\text{-Al}_2\text{O}_3$ と気相との界面に存在すること⁷⁸⁾⁷⁹⁾が多いので、まず、 $\alpha\text{-Al}_2\text{O}_3$ 中の酸素イオン空孔を媒介とする酸素イオン

の内向拡散が考えられる。そして、 Al_2O_3 を n 型半導体とした場合⁶⁶⁾の原子価制御の原理による効果は、 Cr_2O_3 の場合とは逆になるはずである。一方、空気中のように比較的高い酸素圧の下では、 Al_2O_3 は p 型半導体になるとともいわれている⁸⁰⁾。しかしながら、Al は Cr と同じ 3 値のイオンとなるので、 Al_2O_3 が n 型、p 型いずれであつても、大部分の希土類元素ではその添加効果が発揮されないことになる。Fig. 9 は KUMAR ら⁴⁵⁾が Ni-10Cr-5Al 合金、ならびにそれに 0.5% Y, 0.5 および 1% Th を添加した合金について求めた酸化速度定数の温度依存性を示すが、いずれの合金でも、主要酸化物は $\alpha\text{-Al}_2\text{O}_3$ と NiAl_2O_4 である。図によると、Y の添加は酸化速度を僅かに減少させており、 Al_2O_3 に対する Y^{3+} イオン添加の効果は、原子価制御の原理では説明できないが、KUMAR らは Y が $\alpha\text{-Al}_2\text{O}_3$ 中の空孔生成のエンタルピーを増加し、それによつて酸化速度が減少することは可能であるとしている。これに対して、Th は添加量の増加とともに酸化速度を増加させており、Th は Al より高原子価の 4 値をとり得るので、 Al_2O_3 が p 型半導体であるならば、 Th^{4+} イオンの効果として妥当であることになる。

Fe-Cr-Al 系など表面に $\alpha\text{-Al}_2\text{O}_3$ を生成する合金において、酸化はしばしば放物線則に従うが、放物線速度定数や酸化の活性化エネルギーの値は、これまで合金上酸化物としての $\alpha\text{-Al}_2\text{O}_3$ の成長に対して与えられた値⁷⁸⁾⁷⁹⁾⁸¹⁾⁸²⁾とほぼ一致したオーダーにある。Fig. 10 は KUENZLY および DOUGLASS⁸³⁾が $\alpha\text{-Al}_2\text{O}_3$ を生成する 0.5% Y 添加 Ni_3Al の酸化速度定数、 $\alpha\text{-Al}_2\text{O}_3$ の自己拡散係数 (D_{Al} および D_0) と比較して図示した中に、著者ら⁷⁹⁾が Fe-20Cr-4Al およびそれに微量 Ce を添加した合金について求めた放物線酸化速度定数を加えて示したものである。これらの温度依存性から得られた活性化エネルギーは、著者らの Fe-20Cr-4Al(-Ce) 合金で 57~62 kcal/mol, KUENZLY および DOUGLASS の

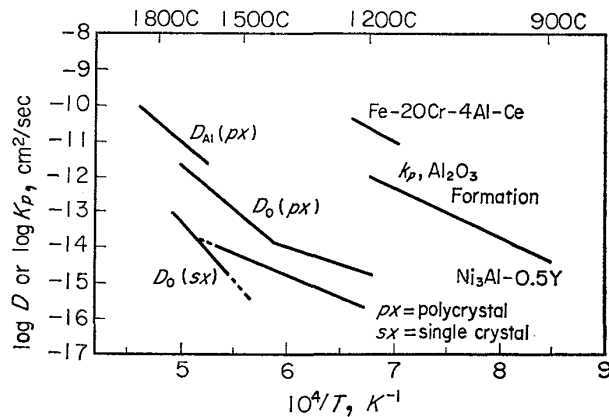


Fig. 10. Temperature dependence of diffusional processes in Al_2O_3 [After KUENZLY and DOUGLASS, and AMANO, et al.]

$\text{Ni}_3\text{Al}-0.5\% \text{Y}$ で 60.6kcal/mol であった。PALADINO および KINGERY⁸⁴⁾ によると、 Al_2O_3 中の Al イオン拡散の活性化エネルギーは、 $1670^\circ\text{C} \sim 1905^\circ\text{C}$ 間で 114kcal/mol であるのに対して、OISHI および KINGERY⁸⁵⁾ は単結晶中の酸素イオンの自己拡散について、 1650°C 以上では固有の拡散係数値を示すとして 152kcal/mol 、また、それ以下の温度では、不純物または構造に敏感な値として、例えば 57.6kcal/mol を得ている。また、多結晶 Al_2O_3 中の酸素の自己拡散係数は、単結晶のそれよりも約 2 倍大きく、活性化エネルギーは約 1450°C 以上で 110kcal/mol 、それ以下の温度では、恐らく不純物または構造に敏感なより低い値をとることを報告している。このように、単結晶よりも多結晶で拡散係数が大きく、また、低温側で活性化エネルギーが低い値をとるような変化の原因是、 Al_2O_3 中の酸素の粒界拡散が支配的になることに帰せられている。したがつて、 Al_2O_3 形成合金のマーカー実験結果などを考慮すると、表面酸化物 $\alpha\text{-Al}_2\text{O}_3$ の成長は、粒界を通る酸素イオンの内向拡散により行なわれるとするのが有力であると思われる。なお、酸素の粒界拡散に及ぼす希土類元素添加の直接の影響は明らかでないが、結晶粒の大きさからの間接的効果は期待される。すなわち、生成する Al_2O_3 の結晶粒が大きいほど、結晶粒界は少なくなり、酸化速度は減少することになる。STRINGER ら⁸⁶⁾⁸⁷⁾ は～ $1\% \text{Y}$ 、または～ $1.5\% \text{Hf}$ を含む Co-10Cr-11Al 合金の高温酸化を研究したが、 1100°C で連続酸化したときの 100h 後の重量増加を Fig. 11 に示す。これによると、Y 添加量の増加とともに酸化增量が減少するのに対して、Hf を添加すると、 0.05% で最小速度を示した後、酸化速度は Hf 量とともに増加する。 Al_2O_3 中には Y, Hf は検出されず、結晶粒径の変化が重要であるとされている。

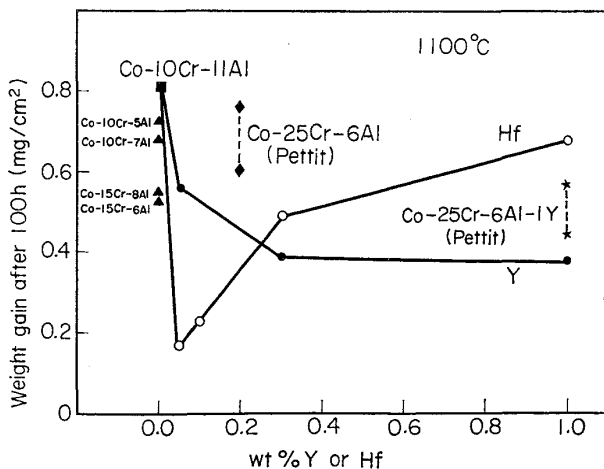


Fig. 11. Weight gain after 100h exposure at 1100°C as a function of alloy Hf or Y content of Co-10Cr-11Al alloys [After STRINGER, et al.].

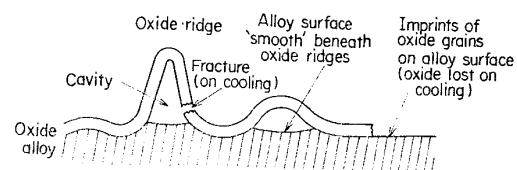


Fig. 12. Schematic representation showing main features of oxide-scale and alloy-oxide interface of yttrium-free Fe-27Cr-4Al alloy following cooling after oxidation at 1200°C for 24h [After GOLIGHTLY, et al.].

一方、 Al_2O_3 が大気圧酸素中で P 型の電気伝導を示すものとすれば、Al イオンの外向拡散も無視できるものではなく、酸素イオンの粒界内向拡散と競合しながら、 $\alpha\text{-Al}_2\text{O}_3$ 皮膜の成長が起るものと解される。次章で述べる皮膜の密着性に関連するが、GOLIGHTLY ら⁸⁸⁾ によると、Fe-27Cr-4Al 合金を 1200°C で酸化した場合、酸化物層は著しく凹凸をもつて発達し、Fig. 12 のように波打つて、合金から分離し、冷却の際には大きく剝離する。この現象は、酸化物粒界を内向拡散する酸素と、酸化物本体の格子中を外向拡散する Al とが、酸化物層中で反応し、そこで $\alpha\text{-Al}_2\text{O}_3$ が横方向に成長することによるものとして説明されている。この合金に $0.023\% \text{Y}$ を添加すると、凹凸は生じないので、 $\alpha\text{-Al}_2\text{O}_3$ の密着性は向上するが、これは外層酸化物中に Y が導入されると、その中の Al の拡散が抑制され、酸化物の成長は合金/酸化物界面で起るようになるので、横方向には成長しないことによると考えられている。

3.1.3 分散強化型合金

近年、 ThO_2 や希土類酸化物の微粒子を Ni-20Cr 合金などの中に $1 \sim 3 \text{ vol\%}$ 程度分散させた、いわゆる分散強化型耐熱合金が開発されている。Ni-20Cr 合金は高温でほぼ放物線的に酸化するのに対して、これらの分散型合金では、酸化時間の経過とともに、放物線則よりはずれた、より小さい重量増加を示すようになり、ついには連続的に重量が減少して、その傾向は高温になるほど著しい。一例として、Ni-20Cr-2ThO₂ 分散型合金(TDNiCr)を 100Torr 酸素中で酸化させたときの結果を Fig. 13 に示す⁸⁹⁾。非分散型の Ni-20Cr 合金では、 Cr_2O_3 の連続層が形成される前に、外層酸化物としてかなりの量の NiO および NiCr_2O_4 を生成するが、分散型合金では、Cr の選択酸化が促進され、 Cr_2O_3 が主な外層酸化物となる。したがつて、高温になるほど、 Cr_2O_3 は CrO_3 に酸化されて蒸発し、重量減少を示す。このほか、分散型合金では、 Cr_2O_3 層の成長速度が著しく低下すること、マーカー実験によると皮膜形成反応は合金/酸化物界面で進行すること、酸化皮膜の密着性が改善され、熱サイクル下の剝離が減少することなどの特徴がある⁹⁰⁾。

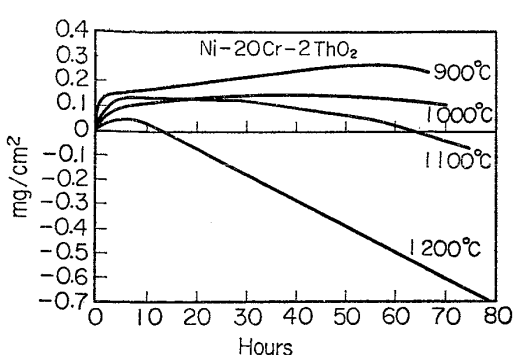


Fig. 13. Weight changes plotted as functions of time for Ni-20 wt% Cr-2ThO₂ oxidized in 100 Torr oxygen at temperatures from 900 to 1200°C [After WALLWORK and HED].

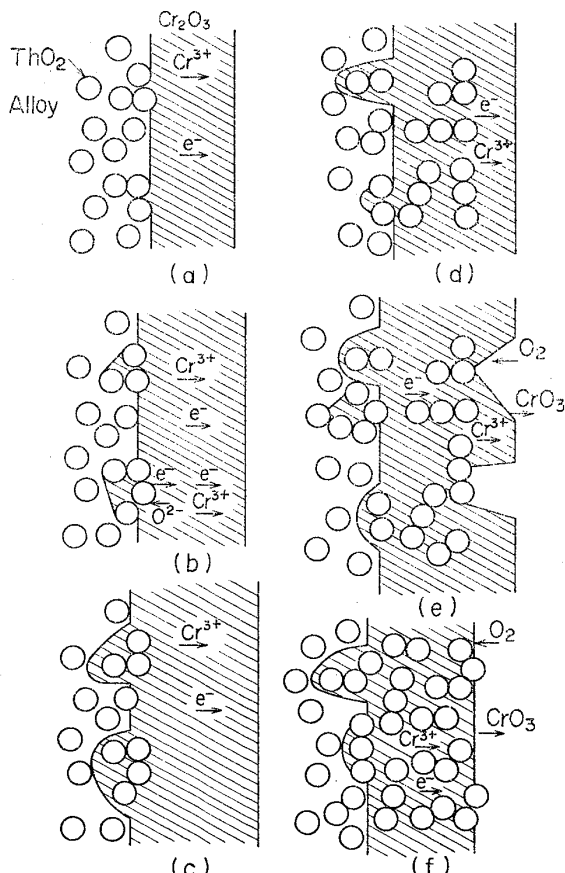


Fig. 14. Schematic representation of the model for the oxidation of Ni-20Cr-2vol% ThO₂ [After GIGGINS and PETTIT].

GIGGINS および PETTIT⁹⁹ は 900°~1200°C, 0.1atm 酸素中で TDNiCr の酸化を研究し, Cr は選択的に酸化され, 生じた Cr₂O₃ 層成長の放物線速度定数は, 非分散型 Ni-20Cr 合金の場合よりもオーダーがおよそ 1 衡小さいことを認め, Fig. 14 に示す酸化モデルを提出了した。すなわち, (a) まず Cr₂O₃ の薄層が Cr の外向拡散により生成するが, 合金/Cr₂O₃ 界面は ThO₂ 粒子で満たされるようになる。(b) その結果, これらの集合

した ThO₂ 粒子は, 合金から酸化物への Cr の移動を阻止するので, Cr₂O₃/集合 ThO₂ 粒子界面の Cr の活量が低下し, 酸素の活量は増大する。このような状態では, Cr₂O₃ がこの界面で解離し始めるが, ThO₂ 中の酸素の拡散は速いので (1100°C で $D \approx 10^{-5} \text{ cm}^2/\text{s}$)⁹² 遊離した酸素は ThO₂ 中を拡散し, 粒子の下部に新たに Cr₂O₃ を生成させる。一方, 遊離した Cr は Cr₂O₃/酸化界面へと拡散し, そこでさらに Cr₂O₃ を生成させる。(c) 外層酸化物 Cr₂O₃ と ThO₂ 粒子下部の Cr₂O₃ の成長がともに続き, 解離反応により ThO₂ 下部に生成した Cr₂O₃ は外層に合体する。(d) 集合 ThO₂ 粒子に起因する内向成長と, Cr₂O₃ 中の Cr の拡散による外向成長とにより, Cr₂O₃ 層は 2 つの領域に分けられる。(e) 外側領域の一部は, Cr₂O₃ の酸化による Cr₃O₄ の生成により消失する。(f) 長時間の酸化後, ほとんどすべての外側領域は蒸発反応によつて消失する。Cr₃O₄ 中の ThO₂ 粒子は, Cr の移行に有効な Cr₂O₃ の断面積を減少することにより, 酸化速度を低減させる。

STRINGER ら⁹⁰ は 3 vol% の Y₂O₃ および CeO₂ を含む Ni-20Cr 分散型合金の酸化を, 900°~1200°C, 100 Torr 酸素中で研究したが, 分散粒子の効果は酸化物の種類によらず, TDNiCr の場合と同様であることを認めるとともに, つぎのような機構を提出した。すなわち, 合金表面上の分散粒子は Cr₂O₃ の核形成点として選択的に作用するので, 隣接した Cr₂O₃ 核間の距離は減少し, 横方向への成長によつて完全な Cr₂O₃ 層を形成するに要する時間を短縮させ, Ni を含む酸化物の生成が終了する。こうして, 分散型合金ではより急速に定常状態に達する。その後の酸化速度が非分散型合金の場合より小さい点については, 説明が容易ではないが, つぎのように考えている。分散型合金上の酸化物の結晶粒径は, 非分散型合金のそれの 1/5~1/10 と小さく, 分散粒子が核形成点として作用することからも, 当然予測されるおりであるが, 粒界は短回路拡散の通路となるので, 粒径の減少とともに, 酸化は加速される筈である。しかしながら, 既に述べたように, イオン性固体における粒界は, 陽イオンに対してではなく, 陰イオンに対する短回路となるとすると⁵⁴, 非分散型合金上の Cr₂O₃ 層の成長において, Cr₂O₃ 中の Cr の移動の短回路拡散通路となるのは粒界ではない。すると, 粒界に代わるものとして転位が挙げられるが, 転位が陽イオンの短回路拡散通路となり得ることは, α -Fe₂O₃ ひげ結晶などの成長で認められている⁹³。そこで, もし, 結晶粒径が堆積している転位間の距離以下に減少するならば, 単一の転位は結晶粒内で安定ではなくなり, 粒界に移動して, そこで陽イオン拡散通路としての役割を終了する。したがつて, Cr₂O₃ 中の Cr の短回路拡散通路が転位群であるとするならば, Cr₂O₃ の結晶粒径がある限界の大きさ以下になると, 通路の密度は減少し, それによつて拡散速度が減

少することになる。

後にも述べるように、耐熱合金に添加された希土類元素などの活性金属は、高温酸化に際して選択的に酸化物を生成し、その後の酸化挙動に影響を及ぼす。したがつて、以上の分散強化型耐熱合金の酸化において、分散粒子が短回路通路を塞いだり、あるいは取り除くことにより、酸化速度を低減させるという役割を検討することは有意義なものと思われる。

3.2 合金中の拡散速度に及ぼす効果

前節の酸化物中の拡散に対して、合金中の拡散に及ぼす希土類元素添加の効果を考慮した説もある。とくに、合金中の拡散を促進して、保護性皮膜ができるだけ速やかに形成させることができれば、その後の酸化速度は減少するというのが一つの考え方である。HORN⁹⁴⁾は Ni-Cr 合金に約 0.2% の Ca, Ce, Ta, Zr, Ti または Nb を添加して、1200°C における酸化寿命が、添加元素の原子半径にほぼ比例して増加することを見出した。そして、希土類など原子半径の大きな元素は、合金の結晶格子を膨張させ、Cr の拡散を促進して、表面における Cr₂O₃ 皮膜の形成を迅速にするものと考えた。WENDEROTT⁹⁵⁾ は Ni-20Cr 合金に 0.1% Ce を添加すると、Ce は酸化により CeO₂ として合金中で格子を膨張させ、Cr の拡散速度を増大するとしているが、1200°C における拡散係数は、Ce 無添加合金における値よりも大きく、酸化寿命値にほぼ比例した増加を示した。FLEETWOOD⁹⁶⁾ は 5 vol% の ThO₂ を分散させた Ni 中への Cr の拡散を調べたが、20% Cr における拡散係数は非分散型の Ni および Ni-20Cr 合金における値よりも大きく、また活性化エネルギーは小さいことが示された。分散強化型合金では拡散が速いというこの結果の原因は、転位と亜粒界の密度が非常に大きいことに帰せられている。しかしながら、SELTZER および WILCOX⁹⁷⁾ によると、分散酸化物粒子は一般に Cr の拡散を促進せず、熱処理による合金構造と粒径の変化が、拡散データの相違となつて現われるという。

一方、KVERNES⁹⁸⁾ は Ni-9Cr-6Al 合金に 0.7% までの Y を添加して、800°～1200°C における酸化挙動を調べたが、0.2% までの Y 添加でも耐酸化性が著しく改善され、酸化皮膜の成長速度は漸近的にはほぼ零に至つた。このような合金では、直径 0.1～0.3 μm のオーダーの細網状の亜結晶粒が形成されていたが、表面への Al の拡散が亜粒界によって促進され、連続した Al₂O₃ 保護性皮膜を優先的に形成するものとして説明されている。

そのほか、中村⁹⁹⁾ は Fe-15Cr 合金に 0.05% 前後の Y, La, または Ce を添加すると、900°～1200°C における初期酸化速度は増加したが、全体としての重量増加は最終的に少なくなることを報告している。そして、合金/酸化物層界面近くの Cr₂O₃ 中に希土類元素の濃縮が

検出されたことから、つぎのような機構を提出している。すなわち、希土類元素の原子半径は Fe や Cr のそれよりも大きいので、合金/酸化物界面で合金中には内部応力を生じ、酸化物の生成を促進する。その結果、これらの酸化物のまわりの格子は応力場の中にあるが、高温であるので、合金中の空孔はこの部分に移動し、応力のいくらかを解放することができる。これらの空孔は Cr₂O₃ 生成の核発生点として作用し、Cr₂O₃ が希土類元素酸化物を閉むようになる。

著者ら¹⁰⁰⁾ は希土類元素の種類による耐酸化性改善の差異を知るために、Ni-20Cr-1Si 合金に 0.4% 前後の Sc, Y, La または Er を添加して、1000°～1250°C、空気中における酸化挙動を調べたが、原子半径が最小の Sc では酸化皮膜の剥離が起こり、酸化增量も最大であつた。これに対して、原子半径最大の La では剥離が認められず、酸化增量は最小であつた。この結果は、皮膜の密着性の問題と関連させて検討する必要があるが、原子半径が大きい原子ほど、合金中の内部応力が高く、保護性 Cr₂O₃ 皮膜の形成が促進されること、あるいは合金中では空孔と複合体を形成しやすいので拡散が遅くなり、その後の Cr₂O₃ 皮膜成長が抑制されることなどによつて説明できるのではないかと思われる。なお、Table 4 に関連ある元素の原子半径を示しておく。

3.3 その他の効果

希土類元素は活性で酸化しやすいので、その酸化物、あるいはそれを含む複酸化物を生成し、拡散障害壁層となるという考え方がある。SEYBOLT¹⁰¹⁾ は Cr に 5 vol% の Y₂O₃ を添加して、酸化速度がかなり減少することを認めたが、これは複酸化物 YCrO₃ の層が金属/酸化物界面に形成され、障壁層となつて、成長しつつある Cr₂O₃ 皮膜中の Cr³⁺ イオンの拡散を減少させることを示唆するものであるといふ。また、中山および富士川¹⁰²⁾ は 0.008～0.470% Ce を添加した Fe の酸化を研究し、0.008% Ce 添加による酸化增量の急激な増大は、原子価制御の原理に基づくものと解しているが、それに以上の Ce 添加では Ce 量とともに酸化增量が減少し、酸化物最内層として CeFeO₃ が層状に生成することを認めていた。希土類元素 (R) の添加により、R₂O₃ や RCrO₃

Table 4. Radii of metallic atoms.

Element	Atomic radius (Å)
Sc	1.641
X	1.803
La	1.877
Ce	1.824
Er	1.758
Ni	1.244
Fe	1.260
Cr	1.267
Si	1.316
Al	1.429

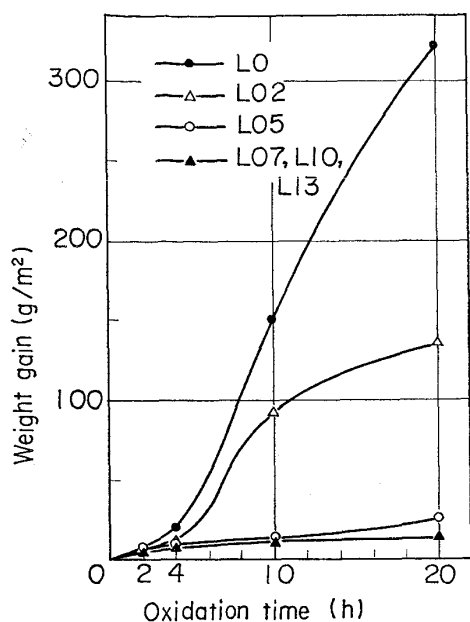


Fig. 15. Isothermal oxidation of Fe-20Cr-La alloys in air at 1000°C [After NAGAI, et al.].

などが内部酸化物として生ずることは、FELTEN⁶⁸⁾によるほか、多く報告されているが、それらは皮膜の密着性に大きく関与する。

そのほか、永井ら¹⁰⁴⁾はFe-20Cr合金に約1.3%までのLaを添加して、1000°C、大気中の酸化実験を行ない、Fig. 15に示すような酸化增量曲線を得ている(L0はLa添加量0、L02は0.2%、L13は1.3%などを表わす)。Laが0および0.2%の場合、4h以降では初期の放物線則よりはるかに急激な重量増加を示し、X線回折によると、 Fe_2O_3 とスピネル相 FeCr_2O_4 からなる厚い酸化皮膜の形成を伴つてある。急激な酸化增量を示す直前の4hでは、 Cr_2O_3 相がかなり残存しているが、著しい酸化增量を示す長時間後には認められない。一方、La0.5%以上の場合は、長時間酸化においても Cr_2O_3 が存在しており、上記の激しい現象は抑制されている。いずれの酸化試料においても、 La_2O_3 および LaCrO_3 は検出されず、また、合金素地と酸化皮膜との界面に、拡散や反応の障壁となり得るような相の存在は全く認められなかつたという。さらに、合金表面のCr濃度の低下傾向は、La添加量によりほとんど変化せず、原子半径が極めて大きいLaを添加しても、Crの拡散が促進されている様子は全く見られない。このようなことから、耐酸化性向上に及ぼすLa添加の効果をつぎのように説明している。すなわち、酸素との親和力がCrよりも大きいLaが Cr_2O_3 を主成分とする表面酸化物中に固溶することにより、表面酸化物の解離酸素圧が低下して化学的に安定化する。その結果、 Cr_2O_3 相からFeイオンの拡散速度の大きいスピネル相への反応過程は抑制され、良好な耐酸化性を示す。

永井ら¹⁰⁵⁾はさらにFe-20Cr合金に約0.7%のLa、

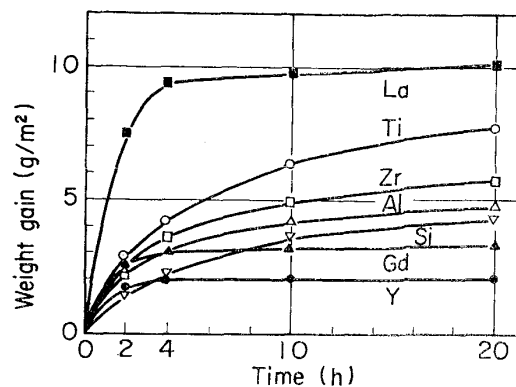


Fig. 16. Isothermal oxidation of Fe-20Cr-0.7M alloys in air at 1273K [After NAGAI, et al.].

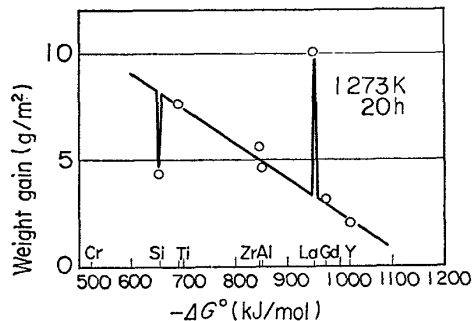


Fig. 17. Weight gains of Fe-20Cr-0.7M alloys oxidized in air at 1273K for 20h versus standard free energies of formation of oxides [After NAGAI, et al.].

Gd, Y, Ti, Zr, AlまたはSiを添加し、大気中、1000°Cで酸化実験を行なつて、Fig. 16に示す酸化增量曲線を得ている。Ti, Zr, Al, Si添加の場合は、ほぼ放物線則に従うが、酸素との親和力が極めて大きいLa, Gd, Y添加の場合は、初期に大きく重量を増した後、僅かしか増量しない。Fig. 17は20h後の重量増量と酸化物生成の標準自由エネルギー ΔG° との関係をプロットしたものであるが、LaおよびSiを除き、添加元素の耐酸化性改善に及ぼす効果は、酸素との親和力の大小に密接に関係していることがわかる。La添加の場合を除いて、 Gd_2O_3 , Y_2O_3 , YCrO_3 , TiO_2 , ZrO_2 , $\alpha\text{-Al}_2\text{O}_3$, SiO_2 などから成る内部酸化層が観察されるが、添加元素は表面酸化皮膜 Cr_2O_3 に固溶して、前述のように安定化するとともに、その低下した酸素圧下で形成した分散酸化物粒子密度の高い内部酸化層が、拡散の障壁となつて酸化を抑制するといふ。

4. 希土類元素添加による酸化皮膜密着性の改善

4.1 内部酸化物による酸化皮膜の楔どめ効果

酸化皮膜の密着性の改善に対して提案されている代表

的な機構は、表面の保護性酸化物が内部酸化物によつて機械的に楔どめされたり (mechanical keying) あるいは釘づけされる (pegging) 作用である。LUSTMAN¹⁰⁶⁾ は3種のNi-Cr合金について 1178°Cまで 7.5 min 間隔のサイクル酸化を行ない、1529サイクル後の試料の断面を観察した。その結果、Zr, Ca および Al を含まず、Si が 0.30%と少ない合金では、酸化が最も激しく、寿命値は最小であつたが、合金/酸化物界面は平滑であつた。つぎに Si は 0.30%で、Zr 0.05%, Ca 0.029%, Al 0.08%を含む合金では、酸化速度と寿命は3種の中間で、酸化物がいくぶん内部へ侵入していた。X線回折によると、この両合金上の酸化物層を構成しているのは、NiO, Cr₂O₃ および NiCr₂O₄ であつた。それに対して、Si 1.39%, Zr 0.10%, Ca 0.024%, Al 0.07%を含む合金は、最小の酸化量と最大の寿命を示し、主要酸化物は Cr₂O₃ であつたが、かなりの内部侵入がみられた。そして、このような内部侵入の傾向は、連続酸化の場合も観察された。生成酸化物の全重量に対するサイクル試験中に剥離した酸化物量の割合は、内部酸化深さが小さく、重量減少が大きいほど増加した。

上記の現象に対する LUSTMAN の解釈を要約するとつぎのようになる。合金/酸化物界面における合金から酸化物中への金属イオンの通過が、酸化物から合金中への酸素の拡散に比して、相対的に速いならば、界面の合金中への移動は十分に速く、著しい内部酸化は阻止されるであろう。しかしながら、希土類元素またはアルカリ土類元素の添加により、金属イオンが酸化物中へ流入し、あるいは酸化物中を容易に通過するのを妨げるような障壁が形成されると仮定するならば、酸素はかなりの深さまで合金素地中に侵入し、内部酸化が大きいほど、金属イオンの外向拡散は限定されると考えられる。このような内部酸化物の存在は、酸化物を合金に楔どめして、サイクル酸化の際の剥離、したがつて、合金の酸化を減ずる傾向がある。なお、連続酸化においては、内部酸化は全体としての酸化速度にあまり影響しない。

ここで、もし金属イオンが酸化物層中を自由に移動できるものとすると、酸化物層の全体的な組成は地の合金組成に近づく傾向がある。しかしながら、添加元素の効果により、前述の障壁が形成され、金属イオンの酸化物相中の移動が抑制されると、地の合金中への酸素の拡大が優先的となる。その結果、内向拡散する酸素は合金と反応して、その組成の合金と接して最も安定な酸化物相の Cr₂O₃ を析出する。さらに酸化が続くと、この相は外層酸化物中にとり込まれる。こうして、著しい内部酸化を示す合金は、優先的に Cr₂O₃ から成る酸化物層を形成する。

FELTEN⁶⁸⁾ によると、Fe-25Cr および Fe-37.5Cr 合金に Y, Laなどを添加しても、前述のように酸化速度に差違は認められなかつたが、1000°C以上は酸化物層の

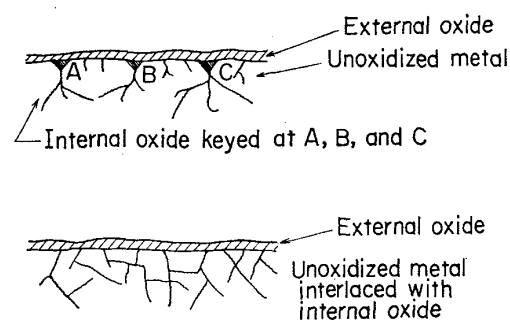


Fig. 18. (a) Oxide formation expected if keying mechanism were important, and (b) oxide formation found in alloys containing yttrium [After FELTEN].

密着性が改善されたという。また、全合金上に生成する表面酸化物は主に Cr₂O₃ であったが、希土類元素(R)を含む合金では、1000°Cで R₂O₃, 1200°Cで RCrO₃を主とした内部酸化物が粒界に形成される。FELTENによれば、内部酸化物が外層酸化物を合金に楔どめ(Key)するという LUSTMAN¹⁰⁶⁾の機構は、Fig. 18(a)のように図示される。また、その代わりとして、細い纖維状の網目組織のみが、同図(b)のように見出だされるというが、内部酸化物と外層酸化物の間にできた多数の微小接点が、上記のタイプの合金の酸化皮膜の密着性に関連するのではないかとされている。

その後、FRANCIS および WHITLOW は Fe-25Cr および Fe-25Cr-5Al 合金に 1%Y⁷⁰⁾を、また 20Cr-25Ni-Nb 安定化オーステナイト鋼には 0.7%Y¹⁰⁷⁾をそれぞれ添加し、CO₂ 中での高温酸化を研究したが、合金中の溶解度を超えた Y は、前二合金では YFe₉ として合金素地の粒界に、また Nb 安定化鋼では Y(Ni, Fe)₉ としてオーステナイト素地中に、それぞれ析出し分散していることが認められた。この Y は内部酸化して、合金/酸化物界面の近傍に Y₂O₃ を生成し、保護性表面酸化物の Cr₂O₃ や Al₂O₃ を合金に締めつける形で、皮膜密着性、したがつて耐酸化性を改善しているという。ANTILL¹⁰⁸⁾¹⁰⁹⁾ らも 20Cr-25Ni-Nb オーステナイト鋼および 15Cr-4Al フェライト鋼中で、Y は YNi₅ または YFe₉ という金属間化合物粒子として合金相中に無秩序に分布しており、これらの Y が主に粒界で選択的に酸化して、表面酸化物の密着性向上に寄与することを報告している。

このように、耐熱合金に希土類元素のような活性金属元素を添加すると、それらは酸化物生成の標準自由エネルギーが極めて負に大きいので、合金/酸化物界面で選択的に酸化して、内部酸化物を形成する傾向が強い。このような内部酸化物は合金素地中に侵入しており、合金粒界や酸化皮膜下部に筋状に観察されることが多いが、多量で、また侵入が深ければ、保護性外層酸化物を楔どめしたり、釘づけしたりする作用をもつものと考えられ

る。それに加えて、例は後に述べるが、内部酸化物の生成によつて、非常に不規則な、入り組んだ(convoluted)合金/酸化物界面が発達し、合金と保護性酸化皮膜とがかみ合わされたような状況がつくり出される。

以上の合金/酸化物界面における内部酸化物の作用は、総称して“key-on effect”ともよばれ、耐熱合金の高温酸化において、保護性酸化皮膜の合金素地への固着により耐酸化性を向上させる機構として、近年、多くの研究で提唱され、枚挙にいとまないほどである。ただし、内部酸化物の生成は、この作用においてのみ、単独に効果を發揮するとは限らず、さきに前章で述べた酸化速度の低減、さらには次節で述べるボイド形成阻止による皮膜密着性改善などにも寄与して、複合的に効果を示すものと考えられる。なお、耐熱合金に添加された希土類元素は、少量、恐らく0.1%程度以下では合金中に固溶しているが、それ以上で溶解度を超すと、その分は前出のような金属間化合物の第2相粒子として析出、分散し、この中の希土類元素が選択的に内部酸化して重要な役割を演ずると考えるのが妥当と思われる。

4.2 ボイド形成阻止による効果

4.2.1 酸化中ボイドの成因

耐熱合金の酸化において、冷却後、外層酸化物が剥離した試料表面を観察すると、しばしば合金/酸化物界面に多数のボイドが見られる。ボイドが存在すると、冷却過程で発生した熱応力がその部分に集中し、割れを発生させて、表面酸化物の剥離に至るものと考えられる。そこで、ボイド形成の主な原因とされている過剰空孔の凝集をできるだけ阻止する必要があるが、まず、合金酸化中のボイドの成因を検討してみよう。

保護性酸化皮膜として Cr_2O_3 を生ずる耐熱合金では皮膜の成長は Cr_2O_3 中の Cr^{3+} イオンの外向拡散により、酸化物/酸素界面において行なわれ、それは Cr イオン空孔を媒介とする。したがつて、空孔は内方に移動し、合金/酸化物界面の酸化物側で凝集してボイドに発展し、皮膜の剥離に至る可能性が大きい。これに対して、 Cr_2O_3 皮膜を優先的に形成しても、分散強化型合金では剥離は起こらないが、前章で述べたように、その機構は種々提案されていても、結果的には、合金/酸化物界面で皮膜形成反応が進行する⁹⁾ためであると思われる。

一方、 $\alpha\text{-Al}_2\text{O}_3$ を生ずる耐熱合金では、前述のようにマーカー実験および酸化の活性化エネルギー値の検討から、 $\alpha\text{-Al}_2\text{O}_3$ 皮膜の成長は Al^{3+} イオンの外向拡散よりも粒界を通る酸素イオンの内向拡散により、合金内部へ向かつて行なわれるとするのが有力である。したがつて、この場合は合金/酸化物界面近傍におけるボイド形成を説明できない。一方、TIENおよびPETTIT⁷⁸⁾はFe-25Cr-4Al合金上に生成した $\alpha\text{-Al}_2\text{O}_3$ の剥離は、合金/酸化物界面におけるボイドの生成によつて起こると報告している。また、著者ら⁷⁹⁾はFe-20Cr-4Al合金の酸化

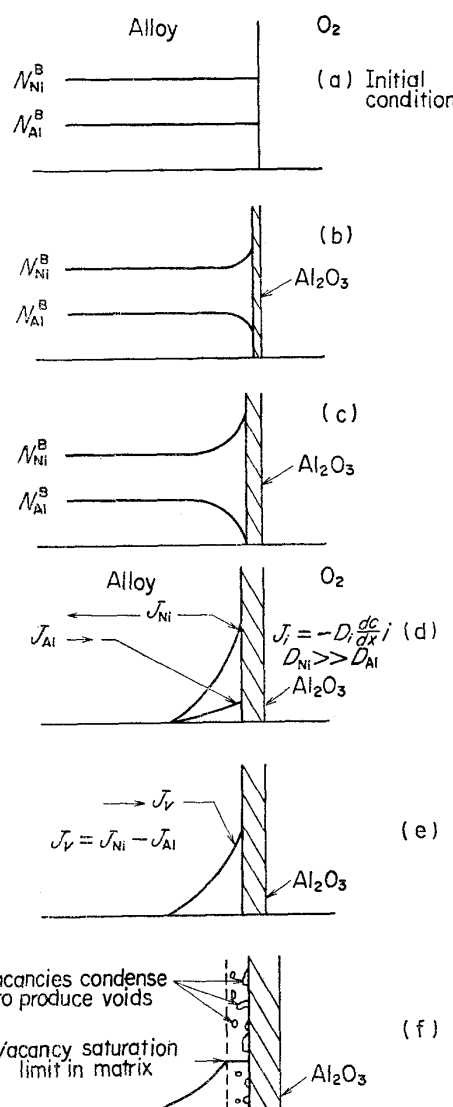


Fig. 19. Diffusional characteristics in Ni_3Al during the selective oxidation of aluminum [After KUENZLY and DOUGLASS].

後、剥離酸化物を取り除いた合金の粒界に沿つてボイドが存在することから、合金/酸化物界面の主に合金粒界部分からの剥離を示唆している。

そこで、KUENZLYおよびDOUGLASS⁸³⁾が Ni_3Al について、またKUMARら⁴⁵⁾がNi-10Cr-5Al合金について、 $\alpha\text{-Al}_2\text{O}_3$ 層を生成する高温酸化過程におけるボイド形成に対して提出した機構を適用すると、実験結果が説明できる。すなわち、Fig. 19は Ni_3Al のAlが選択酸化を受けつつあるときの拡散過程を図示したものであり、ここで N_{Ni}^{B} および N_{Al}^{B} はそれぞれ合金中のNiおよびAlのバルク組成である。 $\alpha\text{-Al}_2\text{O}_3$ 層を選択的に生成するFe-Cr-AlおよびNi-Cr-Al合金などにおいて、Alが選択酸化を受けて Al_2O_3 を合金表面に生成すると、酸化皮膜直下の合金相にはAlの欠損部が生じ、この部分でFe, Ni, Crなどは相対的に濃度を増す。

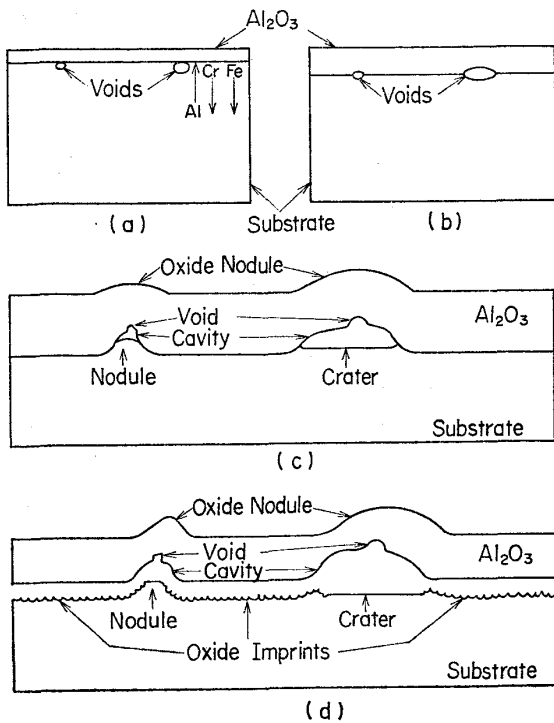


Fig. 20. Schematic representation of the mechanism proposed for oxide spallation as a result of void formation [After TIEN and PETTIT].

そこで、それぞれ濃度勾配に従つて、合金相中を Al は酸化皮膜に向かつて、また他の元素は合金内部へと移動する。Table 4 より明らかなように、Al の原子半径は Fe, Ni, Cr のそれよりも大きいので、合金中の拡散速度は恐らく Al のほうが他よりも小さく、各金属原子の流束を J_{Fe} , J_{Ni} , J_{Cr} , J_{Al} で表わすと

$$J_{\text{Fe}}(\text{または } J_{\text{Ni}}) + J_{\text{Cr}} > J_{\text{Al}} \dots\dots\dots(7)$$

となる。この互いに逆方向の流束の差が、合金素地から合金/酸化物界面に向かつて

$$J_v = \{J_{\text{Fe}}(\text{または } J_{\text{Ni}}) + J_{\text{Cr}}\} - J_{\text{Al}} \dots\dots\dots(8)$$

だけの正味の空孔の流束 J_v を生ぜしめる。合金中の転位や粒界はこれらの空孔の消滅場所として作用するが、それらによつて処理しきれなかつた過飽和分の空孔は凝聚して、Kirkendall ボイド形成の原因となる。

TIEN および PETTIT⁷⁸⁾によれば、合金/酸化物界面のボイドは、Fig. 20(a) に示すように、最初は合金側に形成されるが、最後には同図(b)のように、Al₂O₃ 層中に部分的にとり込まれるようになる。その理由は、ボイドでは酸化物と合金の接触がないので、酸化物の内方への成長が、ボイドから離れた所よりも少ないからである。ボイドは空孔の流入によつてさらに成長する。酸化が進行すると、酸化物中で発達した圧縮応力が界面に作用し、ボイドが応力集中点となつて、(c)のよう、合金と酸化物とがその部分でさらに深く分離して、空洞(cavity)を生ずる。同時に、合金素地の表面は変形して、こぶ(nodule)状またはクレーター(crater)状の部分を形成する。α-Al₂O₃ 層は彎曲し、それによつて内部

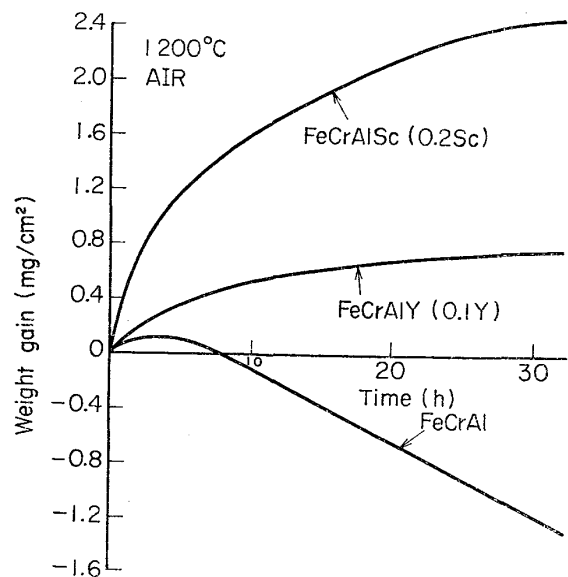


Fig. 21. Typical cyclic oxidation curves (2h cycles) of Fe-Cr-Al (-Sc or Y) alloys at 1200°C in air [After TIEN and PETTIT].

応力のいくらかは除去されるが、割れが発生しないので、保護性を維持している。しかしながら、Fe-25Cr-4Al 合金などを酸化温度から室温に冷却すると、大きな熱応力が発生し、局部的に応力が集中している空洞部で酸化物の剥離が始まる。剥離は合金/酸化物界面に沿つて伝播し、(d)のように、酸化物粒子の痕跡を合金素地表面上に残す。

4.2.2 ボイド形成阻止と皮膜密着性の改善

上記の過程で合金/酸化物界面に形成されたボイドが表面酸化物の剥離をもたらすものとすれば、ボイド形成の原因となる空格子点の凝集をできるだけ阻止する必要がある。TIEN および PETTIT⁷⁸⁾は Fe-25Cr-4Al 合金に 0.01~1.0% Y または 0.2% Sc を添加すると、Fig. 21 に示すように、1200°C サイクル酸化において、表面酸化物 Al₂O₃ の密着性は著しく向上することを認めた。0.01% Y 合金では、突き出た内部酸化物も存在せず、さらに、無添加合金で見られる合金/酸化物界面のボイドは認められなかつた。0.1% Y 合金では酸化物から合金中へ Y₂O₃ や YAlO₃ が突き出ており、1% Y 合金でも同様であつたが、両合金とも Y を含む金属間化合物が析出しており、これが選択酸化したものである。一方、Sc 添加合金では、0.2% Sc でも金属間化合物の析出が認められたが、この铸造合金を真空焼なましをすると、ほとんど単一相となつた。したがつて、この Sc 添加合金および 0.01% Y 合金では、Sc および Y がそれぞれ溶解度を超えておらず、合金中に固溶しているものと思われる。そして、Sc 添加合金でも初期を除いては、0.01% Y 合金と同様に、突き出た酸化物が存在せず、ともにボイドも認められないことから、酸化皮膜の密着性を改善する有力な機構として、釘づけ効果は除外された。その結果、

Table 5. Chemical composition of alloys
[After AMANO, et al.].

Alloy	Intended composition	Analyzed composition (wt%)			
		Fe	Cr	Al	Ce
A	Fe-20 Cr-4 Al	Bal.	19.2	3.7	—
B	Fe-20 Cr-4 Al-0.0 Ce	✓	19.2	3.8	0.01
C	Fe-20 Cr-4 Al-0.1 Ce	✓	19.2	3.9	0.04
D	Fe-30 Cr-4 Al-0.5 Ce	✓	19.0	3.8	0.37

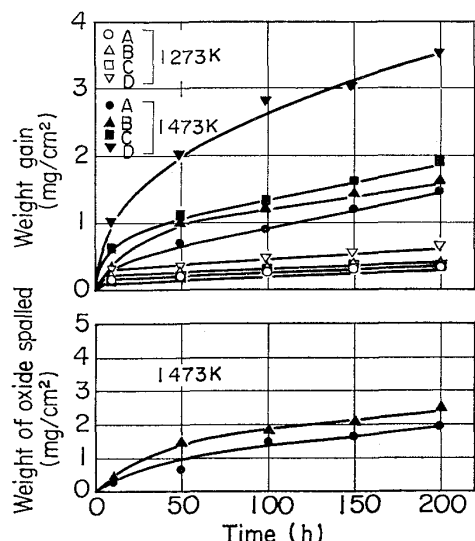


Fig. 22. Isothermal oxidation of Fe-20Cr-4Al base alloys in air at 1000°C and 1200°C
[After AMANO, et al.].

YやScの添加は、(i)過剰の空孔との間の一層の複合体の形成、あるいは(ii)空孔の消滅場所となる内部酸化物粒界の形成、のいずれかにより、剥離の原因となるポイド発生を抑制するものと考えられる。

(i)については、YやScのような大きな原子の固溶に伴うひずみエネルギーは、過剰空孔と複合体を形成することにより減少するので、添加元素は有力な空孔消滅場所となり得るとして説明されている。また(ii)については、YもScも含まないFe-25Cr-4Al合金にAl₂O₃の微小粒子を分散させると、表面酸化物の密着性が向上することから、内部酸化物を空孔消滅場所とする考え方をTIENらは支持している。TIENおよびRAND-¹¹⁰はNi-12Al合金の1200°C酸化において、0.2%Yの添加はポイドの形成を著しく減少させ、表面酸化物の密着性は著しく改善されることを報告している。そして、YはAlよりも約25%、またNiよりも約45%も原子半径が大きいので、空孔を強く引きつけることが期待できるとして、Y添加の効果を(i)の機構に帰している。

著者ら⁷⁹はTable 5に示すFe-Cr-Al合金の大気中での酸化実験を行ない、Ce添加の効果を調べたが、1000°および1200°Cにおける酸化增量と冷却後の剥離酸化物量を図示するとFig. 22のようになる。Ce無添加および0.01%Ce含有合金では、冷却中に表面酸化物α-Al₂O₃が剥離したが、剥離は酸化初期には合金粒界の交差点で起こり、ついで粒内へと拡がった。合金/酸化物界面にはとくにボイドの形成が認められ、表面酸化の剥離の原因はこのことに帰せられた。この0.01%Ce合金では、Ceは合金中に固溶していると考えられ、酸化速度がCe無添加合金よりも大きいことから、Ce原子の占める格子点近傍が活性で、α-Al₂O₃の生成と成長が促進されるものと解される。また、表面酸化物の剥離量は0.01%Ce合金のほうがやや大きいが、これは単に酸化增量の差によるものと考えられる。これに対して、0.04%および0.37%Ce含有合金では剥離は観察されなかつたが、酸化速度はCe量の増加とともに増大し、とくに0.37%Ce合金は他に比して著しい。TIENおよびPETTIT⁷⁸はFe-25Cr-4Al合金に0.2%Sc、または0.1%および1%Yを添加すると、酸化皮膜の成長速度がより大きくなると述べているが、これは酸化によつて合金中に突き出して生じたSc₂O₃またはY₂O₃が、酸化物粒界に加えて、酸素拡散の回路として促進作用をもつためであるとしている。

著者らの0.04%および0.37%Ce合金では、Ce-Fe金属間化合物を主体とする第2相粒子の析出が検出され、合金中のCeは固溶限を超しているものと思われる。酸化物生成の標準自由エネルギーは、Table 1に示すように、1200°Cで酸素1モルあたりでは、Al₂O₃が-191.6kcal、CeO₂が-184.9kcalと僅かにAl₂O₃が負に大きい程度である。しかしながら、Ce-Fe金属間化合物の多くは結晶粒界に存在し、それらは恐らく活性で、選択的に酸化を受けてCeO₂を生成し、さらに粒界酸化物として合金内部へと成長する。この粒界のCeO₂

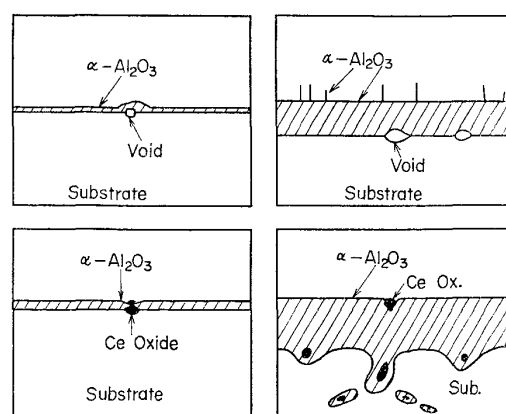


Fig. 23. Schematic representation for the oxide layers formed on Fe-20Cr-4Al alloys oxidized in air at 1200°C.

は核となり、さらに酸素拡散の短回路となつて $\alpha\text{-Al}_2\text{O}_3$ が生成し、 CeO_2 を取り囲むように成長する。0.37%Ce を含むD合金の酸化進行模式図を、酸化物剝離の多いCe 無添加のA合金のそれと比較して Fig. 23 に示す。

このようにして合金中に突き出た、あるいは入り組んだ酸化物が生成することによる、楔どめまたは釘づけの作用に加えて、前出(ii)の機構による粒界酸化物が空孔消滅場所となつてボイド形成を抑制することにより、表面酸化物の密着性は一層改善されるものと思われる。以上のように、添加した希土類元素が選択的に酸化され、その酸化物が筋状に生成し、それが酸素の短回路拡散の通路となつて、Al の酸化をもたらし、 Al_2O_3 で囲まれるようになることは、TIEN および PETTIT⁷⁸⁾ が前記合金において認めている。また、GOLIGHTLY ら⁸⁸⁾ も 0.82%Y を含む Fe-27Cr-4Al 合金について同様の報告をしており、1200°C で 24 h 酸化後、合金/酸化物界面近傍は模式的に Fig. 24 のように表わされるという。この合金では、Y は YFe_9 という金属間化合物の粒子として存在しており、これが急速に選択酸化を受け、 Y_2O_3 ついでそれを包み込むように、 Al_2O_3 が生成するものと思われる。

4・3 その他の改善効果

希土類元素など活性金属を添加すると、それに富んだ酸化物層が、合金素地と保護性酸化皮膜の中間に形成され、内部酸化物ともいえるこの中間酸化物層が、皮膜の密着性を良好にするという考え方がある¹¹¹⁾。このとき生成する中間酸化物は、熱膨張係数が保護性酸化物の値から合金の値まで徐々に変化するようなもので、異種ガラス同士を溶着する際の段継ぎ管(graded seal) に似た役割を演じている。しかしながら、この機構により密着性が向上するとされている例は少なく、希土類元素など活性金属の添加効果も、Fe-25Cr-4Al 合金について TIEN および PETTIT⁷⁸⁾ により、また Co-10Cr-11Al 合金などについて STRINGER ら⁸⁶⁾⁸⁷⁾ により、それぞれ否定

されている。

そのほか、酸化皮膜中に希土類元素が導入されると、焼結性や塑性変形能が改善され、酸化物の剥離をもたらす応力が緩和される説も提出されている。WUKUSICK および COLLINS⁸²⁾ は 1%Y を添加した Fe-25Cr-4Al 合金の酸化において、表面 Al_2O_3 層の密着性は極めて強く、室温への冷却の際にも剥離しないことを認め、その主要原因を楔どめの効果においているが、 Al_2O_3 層の結晶粒が微細であることから、つぎのような可能性も考慮している。すなわち、成長しつつある Al_2O_3 層は恐らく細かく分散した Y_2O_3 粒子を含んでいるが、これらの粒子は Al_2O_3 層の焼結を促進し、それによつて強度と耐熱衝撃性を増し、さらに塑性変形能を増大するという。これに対して、TIEN および PETTIT⁷⁸⁾ は Fe-25Cr-4Al 合金への Y または Sc の添加は、 Al_2O_3 層の塑性変形能を減少させ、密着性の改善には寄与しないとしている。また、KUMAR ら⁴⁵⁾ は Ni-15Cr-5Al 合金への 0.5%Y、あるいは 0.5 および 1%Th の添加は、酸化皮膜の密着性を改善することを報告しているが、Y 添加の場合は、 Y_2O_3 、 YAlO_3 および $\text{Y}_3\text{Al}_5\text{O}_{12}$ が粒界で生成し、粒界に機械による $\alpha\text{-Al}_2\text{O}_3$ の高温塑性変形を抑制するので酸化皮膜の塑性変形能は Y 添加により減少すること、また、Y や Th でドープされた $\alpha\text{-Al}_2\text{O}_3$ は強度を増し、塑性変形能が減少すること、などの点も考慮して、改善効果を他に求めている。

最後に、分散強化型合金の例で興味深い現象について述べる。MICHELS¹¹²⁾ は Ni-15Cr-4Al 合金と、それに La_2O_3 、 Y_2O_3 および ThO_2 を分散させた合金について、1000°~1200°C における等温下、ならびに 1100°C のサイクル下の酸化挙動を研究した。その結果、等温酸化においては、分散粒子の存在は酸化增量に大きな影響は与えなかつたが、サイクル酸化では、酸化皮膜の密着性を著しく向上させた。これらの合金では、酸化の進行にともない、保護性酸化物が層状に形成され、内層は Al_2O_3 、外層は NiCr_2O_4 、 NiAl_2O_4 、 $\text{Ni}(\text{Cr}, \text{Al})_2\text{O}_4$ などのスピネル型酸化物が主となるが、形成過程を模式的に示すと Fig. 25 のようになる。この型の合金では、まず NiO 層が一様に形成した後、合金/NiO 界面で、 Cr_2O_3 と Al_2O_3 の核が形成され、成長する。酸化物分散粒子は核形成点の数を増加するので、 Cr_2O_3 と Al_2O_3 の粒子の数は、分散型合金の場合のほうが非分散型合金の場合よりも多い。酸化の進行とともに、すべての酸化物は成長するが、分散型合金上に存在する Cr_2O_3 と Al_2O_3 粒子の数が多いので、それらが相互に反応し、非分散型合金で同様な相互作用が起こる前に、 $\text{Ni}(\text{Cr}, \text{Al})_2\text{O}_4$ スピネルを形成する確率が大きい。このスピネルの生成は保護性の平衡酸化物である Al_2O_3 の生成を促進するので、耐酸化性にとつては好都合である。また、組織観察によると、分散強化型合金の外層スピネル中に気孔(pore)が

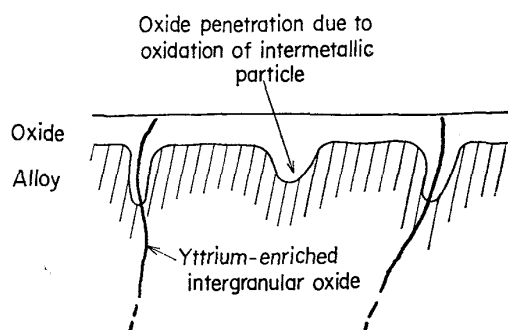


Fig. 24. Schematic representation showing configuration of oxide scale and alloy-oxide interface of the Fe-27Cr-4Al-0.82Y alloy following cooling after oxidation for 24 h at 1200°C [After GOLIGHTLY, et al.].

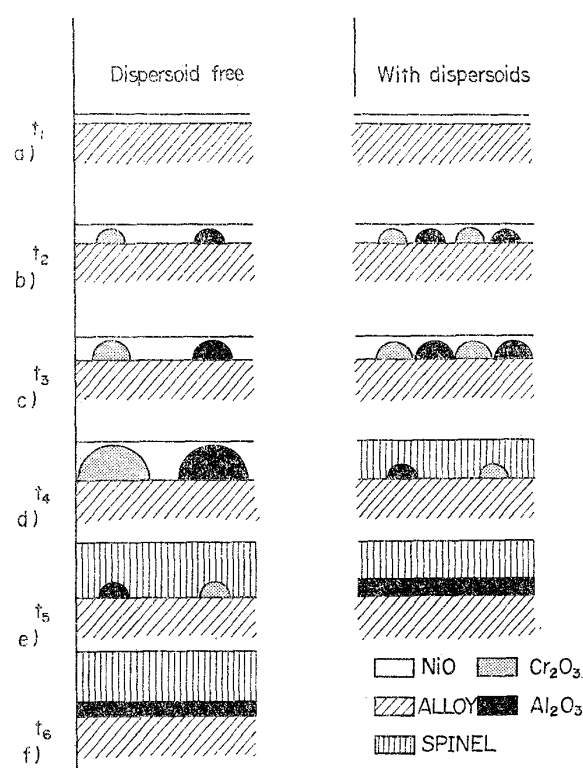


Fig. 25. Schematic representation illustrating the effect of dispersoids on the oxidation of Ni-15 Cr-5Al alloys [After MICHELS].

存在するが、この気孔は、サイクル酸化中に熱的に誘起される膨張と収縮によく適応させる役割を演ずるものと思われる。すなわち、気孔はひずみを収容する場所を与える、それによつて合金/酸化物界面における応力の量を減じて、保護性酸化皮膜の密着性を改善する。

4.4 希土類元素添加がもたらす負の効果

前節までは、耐熱合金上の酸化皮膜の密着性向上における希土類元素などの役割について、とくに合金/酸化物界面の内部酸化物による key-on, あるいはボイド形成阻止の効果を強調して述べてきた。これらの効果は引用した以外にも多くの研究で認められているが、一方、希土類元素などを添加しても、効果がほとんど認められないか、あるいは条件によつては、逆に密着性を低下するような例も一部に報告されている。そこで、本節ではこの負の効果に焦点をしづつて、二、三の例を紹介することにする。

WRIGHT および WILCOX¹¹³⁾ は Fe-18Cr, Fe-16Cr-3 vol% Y₂O₃, Fe-18Cr-0.1Y および Fe-18Cr-0.05Zr 合金の酸化挙動を、100Torr 酸素中、1100° および 1200°C で研究した。これらの 4 合金の中、3vol% の Y₂O₃ を分散させた合金は、酸化皮膜が薄く、密着性も良好で、この組成の Fe-Cr 合金に普通見られる breakaway は起こらなかつた。そして、酸化皮膜は Fe を含まない保護性の Cr₂O₃ より成り、サイクル酸化においても剥離せず、Ni-Cr 系、Co-Cr 系など他の分散強化型合金と

同様の、すぐれた耐酸化性を示した。これに対して、0.1%Y 合金の酸化速度は Fe-18Cr 合金のそれとほぼ同じで、breakaway は観測されなかつたが、酸化皮膜の密着性は改善されず、予期に反して、皮膜の剥離は Fe-18Cr 合金の場合よりも、むしろ激しいものがあつた。一方、Fe-16Cr-0.05Zr 合金では、合金粒界近傍で多少皮膜の剥離が見られたものの、酸化温度からの冷却に際して良好な密着性を示した。

この 0.1%Y 合金と 0.05%Zr 合金の密着性の相違は、酸化物層の形態から説明されている。まず 0.1%Y 合金では、皮膜が合金から局部的に分離し、またふくらむことによつて、皮膜中の圧縮成長応力が緩和させられていることは明らかであるが、皮膜の成長が陽イオンの外向拡散により行なわれると仮定するならば、この分離している点は、恐らく、皮膜下部近傍における陽イオン空孔の合体により影響される。事実、皮膜の隆起が酸化温度で起こるとすると、分離した皮膜が引き続き成長するためには、(i) 残つている合金/酸化物接触点を通る陽イオンの外側への(陽イオン空孔の内側への)急速な拡散と(ii) 皮膜中を横方向への同様な拡散、あるいは(iii) 隆起した皮膜の下の空所を通る Cr の蒸気輸送の寄与のいくらかといつたものを必要とする。0.1%Y 合金では、合金/酸化物が波打つており、また皮膜が極めて小さい合金上の点に強固に付着しているが、このことは、合金表面の塑性変形が酸化皮膜の座屈、あるいは両者のいずれかによつて、皮膜の応力のいくらかが解放されていることを示唆するという。

密着性の良好な 0.05%Zr 合金上の皮膜の厚さは、非密着性の 0.1%Y 合金上のそれよりもとくに薄いというわけではないので、皮膜中に発生する応力レベルは同程度と思われる。この皮膜を詳細に調べた結果では、これらの応力は最小の皮膜隆起により、都合良く解放されることになるようである。この合金では、皮膜下部に接して多数の酸化物粒子が観察され、それらが皮膜を合金に固定する釘の役を果しており、この内部酸化物の釘づけ作用によつて、皮膜の隆起は抑制されているものと思われる。加えて、このような釘は、合金表面から離れて、内向拡散する陽イオン空孔が凝集できる場所となることにより、皮膜隆起の傾向を減ずるようにも働く。0.1%Y 合金では、0.05%Zr 合金の場合のような内部酸化物粒子の分散は見られないが、異常な挙動は未だ解明されていない。

つぎに、STRINGER ら⁸⁶⁾⁸⁷⁾ は Co-Cr-Al 合金(Cr:10 および 15%, Al:5~11%) の酸化挙動に及ぼす 1% までの Y、および 1.5% までの Hf の添加の影響を、空気中、1000°~1200°C, 1000 h までの間の研究した。等温酸化增量についてはすでに 3.1.2 で述べたが、添加元素の効果は、酸化皮膜の密着性を向上する点で、サイクル酸化の下でとくに著しいものがある。活性元素無添加

合金では、短時間酸化後の冷却に際しても表面酸化物 Al_2O_3 が剥離するが、合金/酸化物界面の約 50% は平滑であり、そこではボイドが形成されている。例えば Co-10Cr-11Al 合金の場合、0.05%Y を添加しても、合金/酸化物界面が多少波打つだけで、著しい効果はないが、0.1%Y 添加では、界面の形態に変化を生じ、平滑部は認められないとともに、合金中に酸化物が突き出で、密着性は向上してくる。この突き出し部分は合金/酸化物界面と合金粒界の交点に位置しており、合金中で Y に富む金属間化合物が存在し、酸化によって Y が内部酸化物となる場所である。ここで Y に富む内部酸化物粒子を中心に閉じ込めるように Al_2O_3 が優先的に成長、釘状の酸化物となる。この有様は、さきに述べた Y 添加の Fe-25 Cr-4Al⁷⁸⁾ および Fe-27Cr-4Al 合金⁸⁸⁾、ならびに Ce 添加の Fe-20Cr-4Al 合金⁷⁹⁾などの場合とよく類似している。

Y 添加量が 0.3% に増加すると、皮膜の密着性はさらに向上するが、0.1%Y 合金と比較すると、釘状酸化物の数は増加し、大きさはほぼ同じである。さらに 1.0%Y に増加すると、突き出した酸化物の数も増加するが、その大きさも増して、これが重要な意味をもつてくる。すなわち、 Al_2O_3 皮膜の密着性は著しく低下し、しばしば剥離するようになる。剥離が起こるととき、皮膜の割れはこの大きな突き出し部の上部で始まり、同様にして、合金粒界に沿つて並んでいる突き出し部は、そこで皮膜を剥離させるようになる。

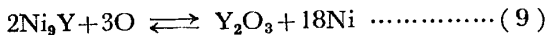
一方、Hf の添加は 0.05% でも、合金/酸化物界面における平滑なボイド存在領域を完全に取り除く。Hf 量の増加とともに、突き出した酸化物が認められるようになり、皮膜の剥離を低減するにはその数が重要であるが、0.1% まででは不十分であり、0.3% および 1.0%Hf が最適のようである。Hf の場合も、Hf に富む酸化物を包み込むようにして Al_2O_3 が内方に成長し、内部酸化物を形成することは Y の場合と同様であるが、皮膜密着性における両添加物間の相違は、突き出した酸化物の形状や分布状態によるものと思われる。すなわち、Y 添加合金では、Y に富む内部酸化物のまわりに形成される釘状酸化物と合金との界面は比較的平滑であり、また時には、かなり長い釘状酸化物も形成されて、その上では皮膜の剥離がより広く行なわれている。これに対して、Hf 添加合金では、Hf に富む内部酸化物のまわりの Al_2O_3 の内方成長は、枝分かれした樹枝状の形で行なわれており、表面皮膜を固着する楔を形成している。この違いは酸化前の合金の活性金属元層の分布に関連あるものと思われるが、Hf は合金中に完全に固溶しており、酸化に際しては、小さな内部酸化粒子が極めて微細に分布して、そのまわりに Al_2O_3 が枝分かれするように成長することを促進する。一方、Y は金属間化合物として合金粒界に偏析しており、そこでは内部酸化物に Y が濃縮され、酸化

物粒子がより大きく成長するものと思われる。

このようにして、合金/酸化物界面における釘状内部酸化物は、小さいことが最も良く、均一で、かなり密に分布していることが望ましい。これに対して、大きい（厳密には大きすぎる）釘状酸化物は、皮膜破断を起こしやすく、とくに局部的な成長は好ましくないことになる。

KUENZLY および DOUGLASS⁸³⁾ は Ni_3Al とそれに 0.5%Y を添加した合金について、900°～1200°C における酸化挙動を研究したが、 Al_2O_3 を主とする Ni_3Al 上の酸化皮膜は冷却に際して激しく剥離し、その原因是、4.2.1 で述べたような、Al の選択酸化による Kirkendall ボイドの形成に帰せられた。これに対して、Y の添加は、短時間後の酸化皮膜密着性を著しく改善したが、これは合金中に存在する Ni_9Y 、 Ni_7Y_2 のような金属間化合物、あるいはそれが酸化して生じた Y_2O_3 が過剰空孔の消滅場所として作用し、ボイドが形成されないことによるものとされた。そして、 YAlO_3 層や Y_2O_3 層の生成、 Al_2O_3 の塑性変形能の増加、key-on effect などは、酸化皮膜の密着性を向上する機構からは除外された。

一方、長時間酸化後は、ボイド形成が観測されない Y 添加合金でも、酸化皮膜の剥離が認められるようになり、1200°C、1週間酸化後ではかなり激しくなる。すなわち、Y 無添加合金上の酸化物は、1200°C では α - Al_2O_3 のみであるが、金属間化合物としての Y の存在は、スピネル型の NiAl_2O_4 の生成を促進するので、 NiO と NiAl_2O_4 の外層が α - Al_2O_3 内層とともに剥離する。酸化物層の形成、変化の過程を Fig. 26 に示すが、まず、酸化が始まるとき、酸素は合金素地中よりも合金粒界中に速やかに拡散し、 Ni_9Y または Ni_7Y_2 と粒界で次式のように反応する。



酸素の活量が小さいので、この反応によって遊離した Ni は溶解酸素と反応して NiO を生成することはできない。そこで、Ni は急速に表面に拡散して NiO を生成し、次第に層状となる [図 (a)]。酸素は NiO の解離によつて合金に供給され、また NiO 層中を移動して、

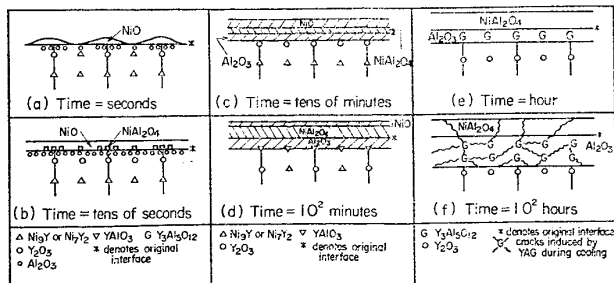
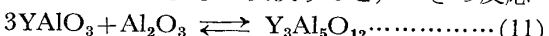


Fig. 26. Schematic representation for the development of oxides on $\text{Ni}_3\text{Al}-0.5\%$ Y
[After KUENZLY and DOUGLASS].

Al_2O_3 が内層として生成する。 NiO と Al_2O_3 との間の固相反応により、 NiAl_2O_4 が生成する[図(b)]。つぎに Al_2O_3 は内方に成長するので、 Y_2O_3 粒子を取り込むようになるが[図(c)]、この段階で、過剰空孔は Y_2O_3 や金属間化合物粒子の境界において消滅する。こうして定常状態に達すると、



の反応によって YAlO_3 を生成する[図(d)]. さらに, NiO が完全に NiAl_2O_4 に変換すると, つぎの反応



により、 $\text{Y}_3\text{Al}_5\text{O}_{12}$ （イットリウム・アルミニウムガーネット、YAG）が Al_2O_3 層内に形成される [図(e)]. 格子定数¹¹⁴⁾より得られる YAG の比容積は $130.5\text{cm}^3/\text{mol}$ ¹¹⁴⁾ で、生成に際しては正の体積変化を伴うが、冷却中に発生する熱応力は YAG 粒子に集中し、皮膜の割れが進行して [図(f)], 剥離に至る.

同様な現象は 0.5% Y, ならびに 0.5 および 1.0% Th を添加した Ni-10Cr-5Al 合金上の酸化皮膜でも観察される⁴⁵⁾。すなわち、無添加合金では、酸化物が大きな薄片となつて容易に剥離するのに対し、Y または Th 添加合金では、短時間酸化後の皮膜密着性が著しく改善され、また、長時間酸化後は、ある程度の改善効果は認められたものの、酸化物微細片としての剥離もいくぶん起るようになつた。長時間酸化後、Y または Th 添加合金上には、1200°C で、 NiAl_2O_4 が外層、 $\alpha\text{-Al}_2\text{O}_3$ が内層として形成されるが、いくつかの仮定をおき、室温への冷却に際して酸化物中に発生する熱応力を、(5)式から計算した結果では、 $\alpha\text{-Al}_2\text{O}_3$ の破断を引き起こすのに十分な大きさであつた。それにもかかわらず 3 h 以内では剥離が観測されない理由については、 Ni_3Al の場合と同様に、Y や Th を含む金属間化合物またはそれらの酸化物、あるいは両者が、空孔消滅場所となつて、Kirkendall ポイド形成を阻止することによるとして説明されている。

Y添加合金では、合金粒界に存在する Ni_9Y , Ni_5Y , Ni_7Y_2 のような金属間化合物として存在し、それらが Ni_3Al の場合の(9)式のような反応で Y_2O_3 に酸化される。酸化時間の経過とともに、(10)および(11)式によつて表わされる YAlO_3 および YAG の生成反応が進行する。Y添加合金の酸化皮膜密着性は、無添加合金の場合に比べれば良好であるが、前述のように比容積の大きい YAG 粒子が形成され、“きのこ(mushroom)”のような形に成長すると、保護性皮膜を局部的に合金素地から持ち上げ、剝離を起こさせる。Th 添加合金では ThO_2 のみが生成され、 ThO_2 粒子の密度が平均よりもずっと高い領域では、酸化皮膜の小部分が剝離する。また、 ThO_2 粒子が均一に分布しているならば、酸化時間がかなり長くなつて、 ThO_2 粒子がもはや空孔消滅場所を供給できなくなつた後には、剝離が起こるのではないかと思われ

るといふ。

5. 複合的添加效果

これまで耐熱合金に希土類元素を添加した場合について、できるだけ単独添加の効果に限定して、検討を加えてきた。しかしながら、Ni-20Crなどの電熱合金に対するSiの添加は、寿命値改善に必要であることは古くから認められており^{11) 115)}、耐熱合金の耐酸化性向上に及ぼす微量Si添加の効果に関しては、数多くの研究が行なわれている。HICKMANおよびGULBRANSEN¹¹⁶⁾はNi-20Cr合金の寿命値がSiの添加によつて改善され、また、そのときの酸化皮膜は Cr_2O_3 のみから成ることを認めた。そして、Si量が少ない場合には NiCr_2O_4 も生成することから、Siは酸化物層中の Ni^{2+} イオンの外向拡散を阻止すると考えた。その後、GULBRANSENら^{63) 117)}はこの考え方を訂正し、電熱合金の寿命値に支配的な因子は、応力またはひずみに対する合金/酸化物界面の抵抗であつて、微量Siなどは、合金がこれらに耐えるのを助ける作用があるとしている。帽山および中山¹¹⁸⁾は数種の耐熱合金の酸化皮膜の電子回折的研究を行ない、酸化初期に合金表面上に形成された非晶質 SiO_2 皮膜が、その後の耐酸化性に寄与すると報告している。

深瀬ら¹¹⁹⁾は耐熱合金の酸化に対する Si の影響について、それまでの研究を総括して、つぎの二つに大別している。すなわち、(i) Si は初期生成酸化物(Cr_2O_3)の欠陥を減少させ、より純粋な Cr_2O_3 膜の生成を促進して保護性を改善するため、Si の添加により初期酸化速度は著しく減少する。(ii) Si は合金/酸化物層界面に濃縮し、非晶質の SiO_2 を形成して保護皮膜として働き、金属イオンの外方拡散を阻止するため耐酸化性が向上する。しかしその反面、酸化時間が長くなると SiO_2 が破壊し、breakaway の原因になる。

DOUGLASS および ARMIJO¹²⁰⁾ によると、Ni-20Cr 合金への Si の添加は、1% では SiO_2 (α -cristobalite) の連続層を形成しにくく、塊状のものが存在して耐酸化性への効果は少ないが、3% では連続層となり効果的である。ただし、その連続層が形成されるためには、1 200°C 以上の高温かつ長時間が必要であるが、一方、それによつて外層酸化物 Cr_2O_3 は熱衝撃に敏感となり、冷却時に剥離するという。また、LOWELL¹²¹⁾ は Ni-20Cr 合金への 3% Si の添加は、 NiO と NiCr_2O_4 の生成を抑制し、 SiO_2 内部酸化物層を伴う保護性酸化物層 Cr_2O_3 を生成させ、耐酸化性を向上するが、 SiO_2 は連続層ではないので、恐らく効果的な拡散障壁ではないであろうとしている。

一方、希土類元素の効果は Si との複合添加によつて十分に発揮されるといわれている。中山および渡辺¹²²⁾は Ce を主体とした希土類元素を 0.042~0.894%, Si を 0.09~0.98% 含む Fe-18Cr 合金の酸化挙動を 1 000°

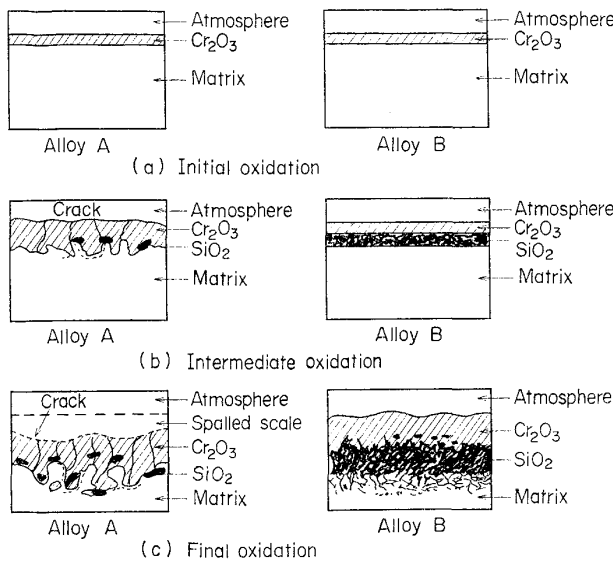


Fig. 27. Schematic representation of the scale formation on Ni-20Cr alloys with or without additions of 0.05% La-Ce mischmetal [After FUKASE, et al.].

~1200°Cで研究したが、希土類元素添加合金は Cr_2O_3 より成る保護性酸化物層で覆われ、希土類元素含有量の増加とともに、耐高温酸化性は向上することを見出した。そして、これは、希土類元素の添加によつて合金中 Si の拡散が促進され、その結果形成された SiO_2 層が Fe や Cr の拡散を抑制する効果によるものであるといふ。深瀬ら¹²³⁾は約 1.5%Si を含む Ni-20Cr 合金の 1200°C 断続酸化に及ぼす Ce-La ミッシュメタル微量(0.125% 添加, 0.05% 含有) 添加の影響を調べ、Fig. 27 に示すような酸化模式図を提出した。Si の添加によつて Cr の優先酸化が起り、表面はほぼ純粋な Cr_2O_3 膜に覆われるが、希土類元素無添加合金では、この層の成長が続き、次第にクラックが発生し、ついには剥離して局部的酸化が起こるようになる。これに対して、希土類元素添加合金では、外層酸化物 Cr_2O_3 と合金との界面に Si が濃縮され、 SiO_2 の連続的な内部酸化物層の形成が促進される。そして、外層酸化物を保護性ある純粋な Cr_2O_3 にするとともに、長時間では SiO_2 が成長して酸化物層や合金の中に木の根のように侵入し、外層酸化物を釘付けにする作用を示す。FLEETWOOD および WHITTLE¹²⁴⁾は Ni-20Cr 合金のサイクル酸化における表面酸化物の密着性は、0.03%Ce および 1.5%Si の添加によつて著しく改善されるが、外層酸化物は Cr_2O_3 で、その下に SiO_2 粒子を含む部分が存在することを報告している。

著者ら⁶¹⁾は Ni-20Cr 合金、ならびにそれに 0.5%までの Ce および 1%Si を単独または複合添加した合金(Table 3)について、連続酸化、サイクル酸化、酸化皮膜の剥離過程などを研究した。1000°~1260°C で 500

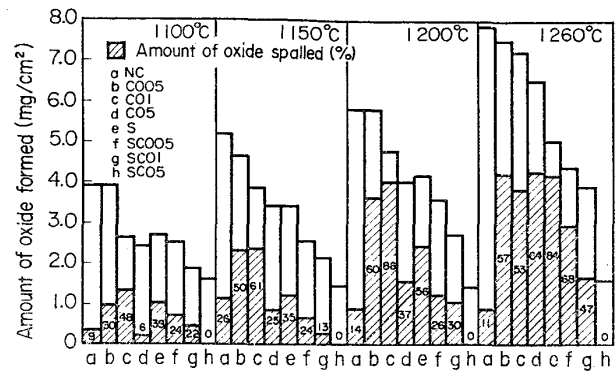


Fig. 28. Amount of oxide formed after 500 min in air and amount of oxide spalled on cooling [After AMANO, et al.]. The numerical values in rectangles indicate percentages of oxide spalled.

min 酸化したときの酸化增量と、生成酸化物をすべて Cr_2O_3 と仮定して求めた酸化後冷却中の剥離酸化物量とを図示すると、Fig. 28 のようになる。図において、斜線の部分が剥離した酸化物量で、数字は生成酸化物に対する割合を示している。Ni-20Cr 合金に対する 1%Si の添加は、酸化增量を減ずるが、酸化物剥離量を著しく増加させ、その傾向は高温になるにつれて大きくなる。Si を含む合金に Ce を添加すると、添加量の増加とともに剥離量は減少し、SCO5 合金では全くみられなくなる。Si 添加合金の表面酸化物としては Cr_2O_3 が支配的で、Ce 量の増加とともにそれは顕著になる。また、冷却後の Si 添加合金の X 線回折では、 α -cristobalite が微量確認されている。以上の傾向は 1250°C, 100 h 前後という長時間の酸化の場合も同様¹²⁵⁾で、Ni-20Cr 合金に 1%Si および 0.5%Ce を添加すると、酸化速度の著しい減少、ならびに保護性 Cr_2O_3 層のすぐれた密着性により、耐酸化性は大いに改善されるといえる。

著者ら¹²⁶⁾はさらに、これらの合金の酸化後の冷却に際して、表面酸化物の剥離による重量減少を測定したが、Si を含まず、表面酸化物が Cr_2O_3 , NiO , NiCr_2O_4 より成る合金では、700°C 付近から剥離が観察された。この剥離は、酸化物と合金の熱膨張係数の違いから、収縮に伴つて生ずる熱応力が原因と考えられるが、Si 添加合金では状況が異なる。すなわち、Fig. 29 は SC01 合金の 1250°C, 207 h および 500 min 酸化後の冷却曲線である。207 h 試料では 700°C 付近から徐々に重量減少を示し、これは上記の熱応力による剥離と考えられるが、さらに 250°C 付近で重量が急激に減少する。S 合金や SC01 合金では、酸化生成物中に SiO_2 (α -cristobalite) が検出されているが、X 線マイクロアナライザーによる観察結果と対応させて得られた酸化進行の模式図を Fig. 30(a) に示す。100 h 以上という長時間酸化の場合、cristobalite は最外層の Cr_2O_3 と合金との

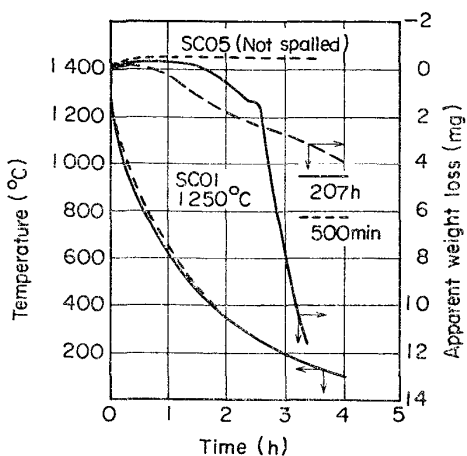


Fig. 29. Oxide spalling on cooling after the isothermal oxidation of SC01 alloys at 1250°C for 500 min and 207h [After SAITO, et al.].

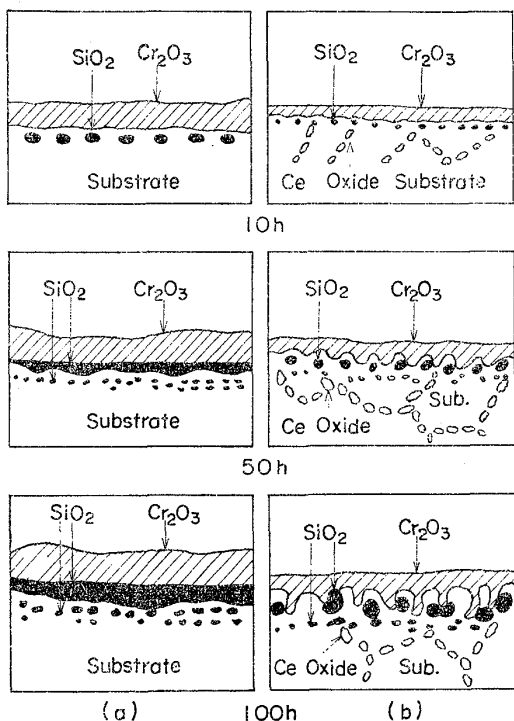


Fig. 30. Schematic representation for the growth of oxide layers formed on (a) SC01 and (b) SC05 alloys oxidized in air at 1250°C [After SAITO, et al.].

界面に、内層酸化物として連続して層状に存在している。cristobalite は 200°~270°C 間に α (低温、正方晶) $\rightleftharpoons \beta$ (高温、立方晶) の変態があり¹²⁷⁾、それに伴う大きな体積変化による応力が原因となつて、cristobalite に隣接した Cr_2O_3 が剥離するものと考えられる。これに対して、10 h 程度の酸化では、cristobalite は層状とならず、 Cr_2O_3 と合金との界面に点状または球状で並んでおり、700°C 付近から徐々に剥離が起こるだけである。

最もすぐれた耐酸化性を示す SC05 合金でも、Fig. 30 (b) に示すように、cristobalite が球状に点存しており、1250°C で長時間酸化後も剥離を示さない。cristobalite が層状であれば、境界層そのものに対して垂直な方向にかなり大きな応力が集中するが、球状では応力分布が等方的であるので、cristobalite 変態の影響を受けにくいものと考えられる。cristobalite が同じ球状であつても、10 h 酸化の SC01 合金では、700°C 付近から剥離が起こるが、これは合金と Cr_2O_3 との界面が比較的平滑なので、熱応力が界面と垂直な方向に大きく作用するためと解される。一方 SC05 合金では、 Cr_2O_3 が合金素地中に深く入り込んで界面の凹凸が激しく、また Ce の内部酸化物が結晶粒界に沿つて合金中に突き出ているので、key-on effect により、表面酸化物 Cr_3O_2 の密着性はきわめて良好である。

Si 1% および Ce 0.5% を複合添加した SC05 合金では、Ce は Ni との金属間化合物第 2 相粒子として合金中に均一に分布しているが、初期に選択酸化を受けて、結晶粒界に内部酸化物として析出し、粒界を通る金属イオンの外向拡散を阻止することが考えられる。さらに Si も選択的に内部酸化を受けて、外層酸化物と合金との界面に SiO_2 の粒子を生成し、それらが粒界または亜粒界を通る金属イオンの外向拡散をある程度阻止する作用を示すものと思われる。時間の経過とともに、界面の凹凸が激しく、互いに入り組むようになり、しかも合金素地に入り組んだ外層酸化物 Cr_2O_3 の間に粒状の SiO_2 が存在することは、 SiO_2 が上記のような短回路拡散の阻止に寄与していることを示唆するものであろう。このように金属イオンの外向拡散が抑制されると、 Cr_2O_3 よりも酸素解離圧の高い NiO 、そして NiCr_2O_4 などは生成しにくくなる。また Cr_2O_3 皮膜の厚さもあまり増大せず、酸化增量は他の合金に比して減少するものと考えられる。

なお、 SiO_2 が粒状、層状、あるいは木の根状に形成されること、さらには非晶質か、cristobalite のいずれかとして存在することなどは、合金中での希土類元素の存在状態のほか、他の添加元素、合金製造時の条件によつても影響を受け、特定することは容易でないものと思われる。

近年、自動車排ガス浄化装置用材料の開発が進められているが、希土類元素を添加した耐熱合金が注目され、研究成果が発表されつつある。その中で、深瀬および根本¹²⁸⁾は高 Si 含有オーステナイトステンレス鋼(13Ni-18Cr-3.5Si 合金)の 1000°C、大気中、繰り返し酸化試験を行なつたが、希土類金属を用いて強制脱酸すると、Fig. 31 に示すように、酸化皮膜の密着性が著しく改善されることを認めている。この原因是、ごく微量の希土類元素を含む非晶質 SiO_2 薄膜が Fig. 32 のように、合金/酸化物界面に形成され、接着剤のような作用をして、

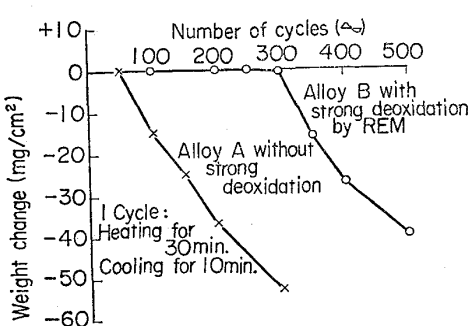


Fig. 31. Effect of strong deoxidation by rare earth metals on cyclic oxidation resistance of 13 Ni-18Cr-3.5Si at 1000°C in air [After FUKASE and NEMOTO].

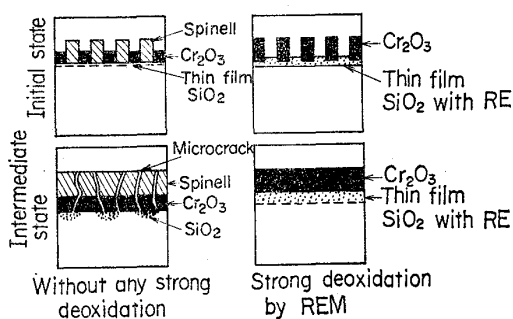


Fig. 32. Initial oxidation model of 13Ni-18Cr-3.5Si alloys at high temperatures [After FUKASE and NEMOTO].

Cr_2O_3 の耐クラック性を向上させることによるといふが、 SiO_2 が変態を伴う cristobalite に結晶化していないことの効果もあるものと思われる。そのほか、庄司¹²⁹⁾ら、飯泉ら¹³⁰⁾も類似の合金の耐酸化性について、希土類元素などの添加効果を報告している。

希土類元素添加の複合的効果として、合金の結晶粒径の問題もあり、希土類元素や Si の添加によって粒径が小さくなると、合金中の Cr の拡散が促進されて、 Cr_2O_3 保護皮膜が形成されやすくなったり、粒界内部酸化物が十分に形成されて、keying-on effect を増したりして、耐酸化性を向上する可能性も挙げられる。

6. 結 言

耐熱合金の高温酸化における希土類元素の役割について、(i) 酸化速度、および(ii) 酸化皮膜の密着性という耐酸化性向上に要求される二つの重要因子を中心に、これまでに提唱された主な機構を紹介した。耐熱合金中の添加希土類元素の効果は極めて複雑で、二つの因子も、またいくつかの機構も、単独ではなく、複合的に機能しているものと思われる。今後、地道な研究と多くのデータ集積により、解明の道が開かれる期待している。

終りに臨み、平素ご鞭撻を賜わり、また本稿執筆の機

会を与えられた本学工学部金属工学科田中良平教授に深く感謝の意を表する。

文 献

- 1) 田中良平: 防食技術, 25 (1976) 4, p. 233
- 2) 田中良平: 高温学会誌, 2 (1976) 6, p. 294
- 3) 田中良平: 機械の研究, 30 (1978) 10, p. 1149
- 4) 西 義澈: 日本学術振興会耐熱金属材料第123委員会研究報告, 18 (1977) 3, 20周年記念特別号, p. 347
- 5) 大林幹男, 伊藤卓雄: 鉄と鋼, 63 (1977) 10, p. 130
- 6) 山崎恒友: 防食技術, 27 (1978) 2, p. 77
- 7) 深瀬幸重: 日本金属学会会報, 17 (1978) 11, p. 928
- 8) 西 義澈: 新金属工業, (1970) 3, p. 30
- 9) A. RAMAN: Z. Metallk., 67 (1976) 11, p. 780
- 10) A. RAMAN: Z. Metallk., 68 (1977) 3, p. 163
- 11) W. HESSENBRUCH: Metalle und Legierungen fur hohe Temperaturen, 1 Aufl., (1940), p. 105 [Julius Springer]
- 12) 理化学辞典, 第3版(玉虫文一他編), (1971), [岩波書店]
- 13) O. KUBASCHEWSKI, E. LL. EVANS and C. B. ALCOCK: Metallurgical Thermochemistry, 4th ed., (1967), p. 421 [Pergamon Press]
- 14) C. E. HOLLEY, JR., E. J. HUBER, JR., and F. B. BAKER: Progress in the Science and Technology of the Rare Earths, Vol. 3, ed. by L. EYRING, (1968), p. 343 [Pergamon Press]
- 15) N. B. PILLING and R. E. BEDWORTH: J. Inst. Metals, 29 (1923), p. 529
- 16) K. HAUFFE: Metalloberfläche, 8 (1954) 7, p. A97
- 17) C. WAGNER: Z. Phys. Chem., B21 (1933) 1/2, p. 25
- 18) K. HAUFFE: Oxidation von Metallen und Metallelegierungen, (1952), [Springer]
- 19) K. HAUFFE: Oxidation of Metals, (1965), [Plenum Press], Based on the German Edition of 18).
- 20) K. HAUFFE: Progress in Metal Physics, Vol. 4, ed. by B. CHALMERS, (1953), p. 71 [Pergamon Press]
- 21) O. KUBASCHEWSKI and B. E. HOPKINS: Oxidation of Metals and Alloys, 2nd ed., (1962) [Butterworths]
- 22) P. KOFSTAD: High-Temperature Oxidation of Metals, (1966), [John Wiley & Sons]
- 23) 井垣謙三: 金属物理, 2 (1956) 6, p. 213
- 24) 笛木和雄: 電気化学, 37 (1969) 5, p. 312
- 25) 笛木和雄, 栗原清一: 日本金属学会会報, 8 (1969) 1, p. 20
- 26) 西田恵三: 防食技術, 23 (1974) 10, p. 507
- 27) J. MOREAU and J. BENARD: Compt. Rend., 237 (1953) 22, p. 1417
- 28) N. BIRKS and H. RICKERT: J. Inst. Metals, 91

- (1962-63) 9, p. 308
- 29) A. RAHMEL: Z. Elektrochem., 66 (1962) 4, p. 363
- 30) G. WAGNER: Z. Elektrochem., 63 (1959) 7, p. 772
- 31) R. A. RAPP: Acta Met., 9 (1961) 8, p. 730
- 32) W. W. SMELTZER and D. P. WHITTLE: J. Electrochem. Soc., 125 (1978) 7, p. 1116
- 33) 西田恵三, 成田敏夫: 日本金属学会会報, 11 (1972) 9, p. 659
- 34) G. R. WALLWORK: Rep. Prog. Phys., 39 (1976) 5, p. 401
- 35) G. GENSCHE and K. HAUFFE: Z. Phys. Chem., 196 (1950) 5/6, p. 427
- 36) H. PFEIFFER and K. HAUFFE: Z. Metallk., 43 (1952) 10, p. 364
- 37) W. C. HAGEL: Trans. Met. Soc. AIME, 233 (1965) 6, p. 1184
- 38) 高村仁一: 金属物理, 3 (1957) 6, p. 238
- 39) 高村仁一, 佐々木靖男: 日本金属学会誌, 22 (1958) 12, p. 663
- 40) 佐野忠雄, 井本正介, 姜文圭: 日本金属学会誌, 23 (1959) 8, p. 486
- 41) 佐野忠雄, 井本正介, 姜文圭: 日本金属学会誌, 24 (1960) 9, p. 604
- 42) 新居和嘉: 防食技術, 26 (1977) 7, p. 389
- 43) G. D. OXX: Prod. Eng. (N.Y.), 29 (1958) 3, p. 61
- 44) D. L. DEADMORE and C. E. LOWELL: Oxid. Metals, 11 (1977) 2, p. 91
- 45) A. KUMAR, M. NASRALLAH and D. L. DOUGLASS: Oxid. Metals, 8 (1974) 4, p. 227
- 46) R. F. TYLECOTE: JISI, 196 (1960) 2, p. 135
- 47) D. L. DOUGLASS: Oxidation of Metals and Alloys, ed. by D. L. DOUGLASS, (1971), p. 137 [American Society for Metals]
- 48) 本間頴一: 防食技術, 25 (1976) 4, p. 251
- 49) 本間頴一: 日本金属学会会報, 15 (1976) 12, p. 763
- 50) R. F. TYLECOTE: JISI, 195 (1960) 4, p. 380
- 51) D. R. HOLMES and W. H. WHITLOW: Werkstoffe Korrosion, 23 (1972) 9, p. 741
- 52) J. STRINGER: Werkstoffe Korrosion, 23 (1972) 9, p. 747
- 53) K. N. STRAFFORD: Werkstoffe Korrosion, 23 (1972) 9, p. 755
- 54) J. F. LAURENT and J. BENARD: J. Phys. Chem. Solids, 7 (1958) 2/3, p. 218
- 55) L. CZERSKI and F. FRANIK: Arch. Hutn., 3 (1955) 1, p. 43
- 56) 三島徳七, 桶山正孝: 鉄と鋼, 36 (1950) 5, p. 263
- 57) G. C. WOOD and T. HODGKIES: J. Electrochem. Soc., 113 (1966) 4, p. 319
- 58) G. C. WOOD and T. HODGKIES: Nature, 211 (1966) 5056, p. 1358
- 59) B. CHATTOPADHAY and G. C. WOOD: J. Electrochem. Soc., 117 (1970) 9, p. 1163
- 60) C. S. GIGGINS and F. S. PETTIT: Trans. Met. Soc. AIME, 245 (1969) 12, p. 2495
- 61) 天野忠昭, 矢島聖使, 木村孝, 斎藤安俊: 防食技術, 24 (1975) 1, p. 19
- 62) S. K. RHEE and A. R. SPENCER: Met. Trans., 1 (1970) 7, p. 2021
- 63) E. A. GULBRANSEN and K. F. ANDREW: J. Electrochem. Soc., 104 (1957) 6, p. 334
- 64) W. C. HAGEL and A. U. SEYBOLT: J. Electrochem. Soc., 108 (1961) 12, p. 1146
- 65) A. U. SEYBOLT: J. Electrochem. Soc., 107 (1960) 3, p. 147
- 66) P. KOFSTAD: Nonstoichiometry, Diffusion, and Electrical Conductivity in Binary Metal Oxides, (1972), [Wiley-Interscience]
- 67) 中山忠行, 富士川尚男: 日本金属学会誌, 29 (1965) 10, p. 990
- 68) E. J. FELTON: J. Electrochem. Soc., 108 (1961) 6, p. 490
- 69) 須永寿夫: ステンレス鋼・耐熱合金(松永編), 応用金属学大系 6, (1963), p. 278 [誠文堂新光社]
- 70) J. M. FRANCIS and W. H. WHITLOW: Corros. Sci., 5 (1965) p. 701
- 71) D. CAPLAN and M. COHEN: J. Electrochem. Soc., 108 (1961) 5, p. 438
- 72) W. C. HAGEL: Trans. ASM, 56 (1963) 3, p. 583
- 73) C. S. TEDMON, JR.: J. Electrochem. Soc., 113 (1966) 8, p. 766
- 74) H. LEWIS: Metallurgia, 83 (1971) 1, p. 3
- 75) G. M. ECER and G. H. MEIER: Script. Met., 7 (1973) 11, p. 1189
- 76) I. ZAPLATYN SKY: Oxid. Metals, 11 (1977) 6, p. 289
- 77) I. KVERNES and P. KOFSTAD: Tech. Rep. AFML-TR-70-103, (1970), 文献75 より引用
- 78) J. K. TIEN and F. S. PETTIT: Met. Trans., 3 (1972) 6, p. 1587
- 79) 天野忠昭, 矢島聖使, 斎藤安俊: 日本金属学会誌, 41 (1977) 10, p. 1074
- 80) J. PAPPIS and W. D. KINGERY: J. Amer. Ceram. Soc., 40 (1961) 9, p. 459
- 81) F. S. PETTIT: Trans. Met. Soc. AIME, 239 (1967) 9, p. 1296
- 82) C. S. WUKUSICK and J. F. COLLINS: Mat. Res. Stand., 4 (1964) 12, p. 637
- 83) J. D. KUENZLY and D. L. DOUGLASS: Oxid. Metals, 8 (1974) 3, p. 139
- 84) A. E. PALADINO and W. D. KINGERY: J. Chem. Phys., 37 (1962) 5, p. 957
- 85) Y. OISHI and W. D. KINGERY: J. Chem. Phys., 33 (1960) 2, p. 480
- 86) I. M. ALLAM, D. P. WHITTLE and J. STRINGER: Oxid. Metals, 12 (1978) 1, p. 35
- 87) D. P. WHITTLE, I. M. ALLAM and J. STRINGER: Materials and Coatings to Resist High Temperature Corrosion, ed. by D. R.

- HOLMES and A. RAHMEL, (1978), p. 55 [Applied Science Publishers]
- 88) F. A. GOLIGHTLY, F. H. STOTT and G. C. WOOD: Oxid. Metals, 10(1976)3, p. 163
- 89) G. R. WALLWORK and A. Z. HED: Oxid. Metals, 3(1971)3, p. 229
- 90) J. STRINGER, B. A. WILCOX and R. I. JAFFEE: Oxid. Metals, 5(1972)1, p. 11
- 91) C. S. GIGGINS and F. S. PETTIT: Met. Trans., 2(1971)4, p. 1071
- 92) E. W. ROBERTS and J. P. ROBERTS: Bull. Soc. France Ceram., (1967)77, p. 3
- 93) R. L. TALLMAN and E. A. GULBRANSEN: Nature, 218(1968)5146, p. 1046
- 94) L. HORN: Z. Metallk., 40(1949)2, p. 73
- 95) B. WENDEROTT: Z. Metallk., 56(1965)2, p. 63
- 96) M. J. FLEETWOOD: J. Inst. Metals, 94(1966), p. 218
- 97) M. S. SELTZER and B. A. WILCOX: Met. Trans., 3(1972)9, p. 2357
- 98) I. A. KVERNES: Oxid. Metals, 6(1973)1, p. 45
- 99) Y. NAKAMURA: Met. Trans., 5(1974)4, p. 909
- 100) 天野忠昭, 矢島聖使, 斎藤安俊: 投稿中
- 101) L. PAULING: J. Amer. Chem. Soc., 69(1947)3, p. 542
- 102) F. H. SPEDDING, B. J. BEADRY, J. J. CROAT and P. E. PALMER: Materials Technology-An Interamerican Approach, ed. by R. D. WYLIE, (1968), p. 151 [The American Society of Mechanical Engineers]
- 103) A. H. SEYBOLT: Corros. Sci., 6(1966), p. 263
- 104) 永井 宏, 村井照幸, 三谷裕康: 日本金属学会誌 42 (1978) 8, p. 756
- 105) 永井 宏, 村井照幸, 三谷裕康: 日本金属学会誌 42 (1978) 12, p. 1138
- 106) B. LUSTMAN: Trans. AIME, 188(1950)8, p. 995
- 107) J. M. FRANCIS and W. H. WHITLOW: JISI, 204 (1966)4, p. 355
- 108) J. E. ANTILL and K. A. PEAKALL: JISI, 205 (1967)11, p. 1136
- 109) J. E. ANTILL: Werkstoffe Korrosion, 22(1971)6, p. 513
- 110) J. K. TIEN and W. H. RAND: Script. Met., 6 (1972)1, p. 55
- 111) H. PFEIFFER: Werkstoffe Korrosion, 8(1957)10, p. 574
- 112) H. T. MICHELS: Met. Trans., 8A(1977)2, p. 273
- 113) I. G. WRIGHT and B. A. WILOOX: Oxid. Metals, 8(1974)5, p. 283
- 114) R. W. G. WYCKOFF: Crystal Structures, Vol. 3 (1964), p. 225 [Interscience Publ.]
- 115) C. J. SMITHILLS, S. V. WILLIAMS and E. J. GRIMWOOD: J. Inst. Metals, 46(1931), p. 443
- 116) W. HICKMAN and E. A. GULBRANSEN: Trans. AIME, 180(1969), p. 519
- 117) E. A. GULBRANSEN and W. R. McMILLAN: Indust. Eng. Chem., 45(1953)8, p. 1734
- 118) 梶山正孝, 中山忠行: 日本金属学会誌, 24 (1960) 8, p. 541
- 119) 深瀬幸重, 遅沢浩一郎, 根本力男: 日本金属学会誌, 33 (1969) 1, p. 40
- 120) D. L. DOUGLASS and J. S. ARMJO: Oxid. Metals, 2(1970)2, p. 207
- 121) C. E. LOWELL: Oxid. Metals, 7(1973)2, p. 95
- 122) 中山忠行, 渡辺 靖: 日本金属学会誌, 31 (1967) 4, p. 385
- 123) 深瀬幸重, 西間 勤, 遅沢浩一郎, 根本力男: 日本金属学会誌, 32 (1968) 1, p. 33
- 124) M. J. FLEETWOOD and J. E. WHITTLE: Brit. Corros. J., 5(1970)5, p. 131
- 125) 斎藤安俊, 桐生 堅, 田辺 堪, 天野忠昭, 矢島 聖使: 高温学金誌, 1 (1975) 1, p. 46
- 126) 斎藤安俊, 桐生 堅, 木村 孝, 天野忠昭, 矢島 聖使: 日本金属学会誌, 39 (1975) 11, p. 1110
- 127) W. D. KINGERY: Introduction to Ceramics, (1960), p. 137, p. 468 [John-Wiley and Sons]
- 128) 深瀬幸男, 根本力男: 鉄と鋼, 63 (1977) 5, p. 688
- 129) 庄司雄次, 秋山俊一郎, 私市 優, 永利匡輔, 星 弘充: 鉄と鋼, 63 (1977) 5, p. 700
- 130) 飯泉省三, 衣笠雅晋, 藤岡外喜夫: 鉄と鋼, 63 (1977) 5, p. 715